

分类号:

密级:

兰州大学

研究生学位论文

论文题目(中文) C_xCr合金薄膜的结构和磁特性

论文题目(外文) Structure and magnetic properties for
CoCr film prepared by high rate magnetron sputtering

研究生姓名 伍 中 文

学科、专业 磁 学

研究方向 磁 记 录

学位级别 硕 士

导师姓名、职称 楊正 教授

论文起止日期 一九八九年三月至一九九〇年五月

论文提交年月 一九九〇年五月

论文答辩日期 一九九〇年六月四日

一九九〇年六月廿三日

学位授予日期 年 月 日

校址: 甘肃省兰州市

论文题目

CoCr合金薄膜的结构和磁特性

论文内容摘要 (中文)

采用射频磁控溅射法制备了垂直磁记录用的CoCr合金薄膜。系统地研究了溅射气压、电压、靶-基板间距、基板温度等溅射条件对CoCr膜结构和磁特性的影响。

通过实验和分析可得如下结果，基板温度可有效地控制垂直子膜面的矫顽力 H_c ，在200℃附近 H_c 存在着极大值；高的溅射气压将引起Co的取向性和机械特性变坏，从结构和磁特性两方面来考虑，溅射气压在1-2mTorr最为合适；在薄膜生长的初始阶段存在一软磁的过渡层，随着膜厚度的增加，膜的取向性变好， H_c 升高；当靶-基板间距选择在60μm时可获得均匀性较好的薄膜；沉积速率和溅射功率对结构和磁特性无明显影响。

论文内容摘要 (外文)

ABSTRACT

The CoCr thin films for perpendicular recording medium have been deposited by high rate magnetron sputtering. The effect of various deposition conditions such as Ar pressure, voltage, distance between substrate and target, substrate on structure and magnetic properties has been investigated systematically.

Through experiments and research, results are summarized as follows: The substrate temperature can effectively control the vertical coercivity (H_c). Near 200°C the H_c has shown the maximum; The poor c-axis orientation and mechanical strength appear with increasing Ar pressure, the optimal structure and magnetic properties can be obtained if Ar pressure is achieved from 1 to 2 mtorr; When thin film starts to grow up, there is a soft initial layer; the c-axis orientation (H_c) decreases and H_c increases with an increase in film thickness; Excellent film uniformity is accomplished if the distance between target and substrate is 60 mm; The structure and magnetic properties are relatively independent of the deposition rate and power.

目 录

第一章 绪论	1
§1-1 引言	1
§1-2 水平和垂直磷记录的特点和比较	2
§1-3 CoCr 合金薄膜的特点	5
§1-4 CoCr 膜的研究近况	6
第二章 CoCr 膜的制备和研究方法	13
§2-1 CoCr 膜的制备	14
2-1-1 射频磷控溅射装置	14
2-1-2 研控靶	15
2-1-3 放电特性	18
2-1-4 基板	20
2-1-5 溅射条件	21
§2-2 研究方法	23
第三章 结果和讨论	24
§3-1 溅射条件对结构的影响	24
§3-2 溅射条件对磷特性的影响	28
§3-3 结论	33
致 谢	35
参 考 文 献	36

第一章 緒論

3.1-1 引言

磁记录技术是丹麦人V.Poulsen⁽¹⁾于1898年发明的。经过几十年的发展，近年来磁记录技术的应用已十分广泛和普及。因为世界上发生的任何现象，如果选择适当的传感器就可以把它转变成一定形式的电信号，那就能够记录在某种形式的磁记录介质上，并且根据需要可以随时再现这种现象。磁记录技术在从现在的工业社会向信息社会过渡起着极为重要的作用。磁记录技术的发展决定着一个国家能否在电子计算机和信息处理方面占据领先地位。⁽²⁾

磁记录装置的功能就是记录信息，以便需要时再现。磁记录技术发展进步的标志是记录密度的提高。要提高记录密度可以从磁头和记录介质两方面入手。目前使用的磁记录介质有磁带、硬磁盘、软磁盘、磁卡片以及磁鼓等。从介质的结构看又可分为磁粉涂布型和连续薄膜型两大类。

至1977年⁽³⁾日本东北大学著名的岩崎俊一教授提出了一种新的磁头和介质的组合方式——垂直磁记录式。使磁记录技术的发展进入了又一个新阶段。关于这方面的实验和理论研究已有上千篇文献发表，普遍认为是获得高记录密度最有前途的技术。

目前，垂直磁记录技术已开始逐步从实验室走向实用化。除应用于数据存储之外，还应用千音频和视频。⁽⁴⁾⁽⁵⁾⁽⁶⁾⁽⁷⁾最近采用垂直磁记录技术对全1的NRZI 制信号的记录密度已达650KBPI以上，每一位信息长度仅占400A⁽⁸⁾，这是水平磁记录方式无法相比的。可以预料垂直磁记录将与传统的水平磁记录竞相发展。

前途无量。

为推进垂直磁记录系统的实用化进程，许多研究人员在这方面进行了大量研究和开发。目前，垂直磁记录用的记录介质是迫切需要研究的内容。为此，我国把这一项目列为国家“七·五”计划攻关项目。本文将系统地对应用前景比较明朗的钴铬(CoCr)合金薄膜进行研究。

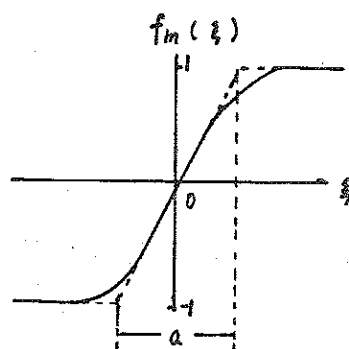
§1-2 水平和垂直磁记录的特点和比较

在研究CoCr薄膜以前，有必要首先了解水平磁记录和垂直磁记录的特点：

随着磁记录技术的发展，记录波长越来越小，同时，人们对磁记录装置的要求也越来越高，为此非常重视研究和开发高性能的磁记录介质以满足数据磁带、录像磁带以及磁盘等各方面日益增长的需要。目前，主要沿着两条路径提高记录密度。

1. 水平磁记录

在水平磁记录中，磁记录介质的磁性过渡函数如引为图1-1所示。图中 α 为磁性过渡区参数，由磁记录原理可得输出信号的脉冲宽度 $W_{50}^{(2)(9)}$ 见图1-2所示是输出信号的脉冲半宽度 W_{50} 。



磁性过渡区函数

图 1-1

$$W_{50} = \begin{cases} 2\sqrt{d^2 + (\frac{\alpha}{2})^2} & [f_{m(s)} \text{ 为阶跃式分布}] \\ 2\sqrt{(\frac{\alpha}{2})^2 + (\frac{\pi d}{2})^2} & [f_{m(t)} \text{ 为反正切分布}] \quad (1) \\ \alpha & [f_{m(x)} \text{ 为线性分布}] \end{cases}$$

$$\text{碎性过渡区参数 } \alpha \propto \frac{tmBr}{Hc} \quad (2)$$

$$\text{碎性过渡区长度 } 2x_0 = \pi \alpha \quad (3)$$

式中 α 为碎头一介质间隙， d 为碎头缝隙

隙， t_m 为磁层厚度， Br 为剩磁， H_c 为矫

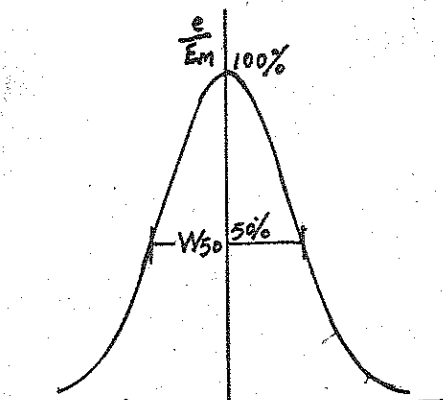
顽力。

可见，要提高水平磁记录密度需减小 W_{50} 和 α 。对磁记录介质的要求便是减小磁层厚度 t_m 、适当地减小剩磁 Br 、增大矫顽力 H_c 。但这将遇到如下的不可克服的困难。

(a) 选用的磁层越薄，对磁性厚度及其他性能的均匀性就要求越高，会出现锯齿状畸变⁽¹⁰⁾，使相邻位间过渡区加宽，阻止了记录密度的进一步提高。同时由于厚度、剩磁的减小，使每一位信息对应的剩余磁通量减小，导致输出信号的信噪比 S/N 下降。

(b) 采用高矫顽力 H_c 的记录介质时，磁头需要产生很高的记录磁场，使得磁头芯的饱和问题难以解决。

(c) 特别是在高密度的水平记录过程中⁽¹¹⁾，记录退磁、自退磁和邻位退磁问题变得越来越突出。记录过程中的退磁场不仅减小记录介质的剩余磁化强度而且使其方向发生变化产生垂直分量，使记录介质上的磁化分布明显地偏离水平磁化



输出信号脉冲半宽度

图 1-2

模式，出现所谓的“圆形磁化模式”¹¹。这是由于环形磁头的磁场具有向量分布及介质中产生退磁场的结果。

从以上可以看出，在高密度记录中，水平磁记录方式受到了不可克服的困难，因而人们纷纷把目光投到一种新型的磁化模式——垂直磁化模式上。

2. 垂直磁记录

关于垂直磁记录，最初仍是 V. Poulsen 提出的这一观点，但由于当时没有研究出合适的磁头和记录介质，所以这方面的研究没什么进展。¹²但自 1977 年岩崎俊一等人提出了单层磁头和 CoCr 合金薄膜垂直记录介质以来，人们正系统地对这方面进行理论研究和实验分析，大大推动了这一新记录方式的应用。

图 1-3 是两种记录方式的特点，图 1-4 是记录特性的比较¹³。

从图中可以看出，在采用垂直记录方式时克服了水平磁记录存在的记录退磁、自退磁和邻位退磁以及剩磁问题。因当记录密度增加时，垂直磁记录中退磁场的作用反而减小，不像水平记录那样使过渡区加宽，相邻位间的磁相互作用随记录密度的提高而减小，退磁场的作用，垂直磁记录中渐性过渡区很窄，退磁场 H_{ay} 仅减小，所占体积内的磁化强度，而且对记录介质的要求主要是具有垂直于膜面的各向异性，对磁层厚度、剩磁以及

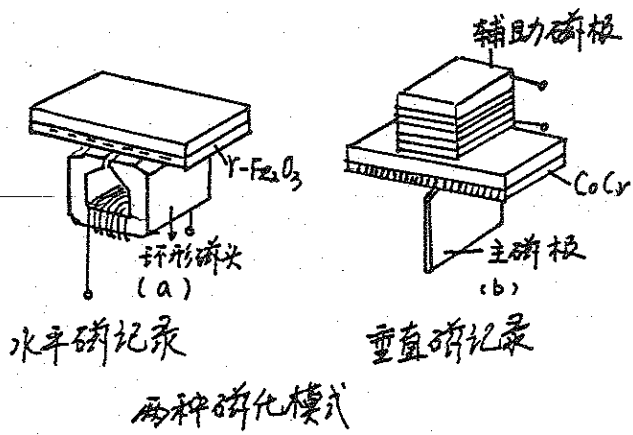
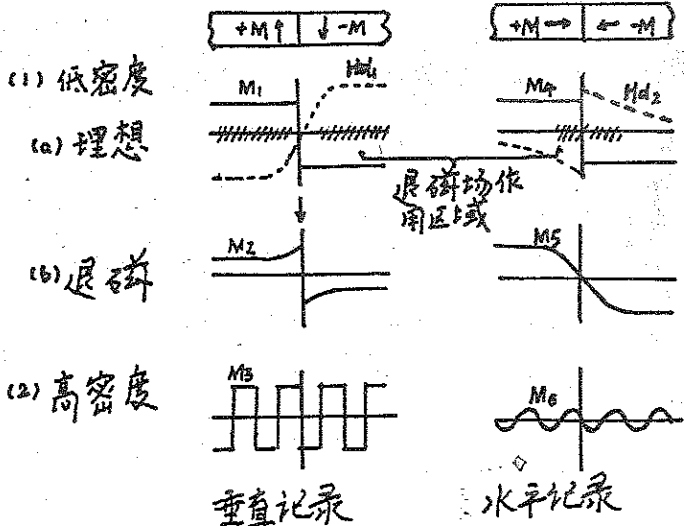


图 1-3

增时，垂直磁记录中退磁场的作用反而减小，不像水平记录那样使过渡区加宽，相邻位间的磁相互作用随记录密度的提高而减小，退磁场的作用，垂直磁记录中渐性过渡区很窄，退磁场 H_{ay} 仅减小，所占体积内的磁化强度，而且对记录介质的要求主要是具有垂直于膜面的各向异性，对磁层厚度、剩磁以及

矫顽力Hc没有严格的限制，给生产和应用带来了方便。



两种记录方式记录特性的比较

图 1-4

1-3 CoCr 合金薄膜的特性

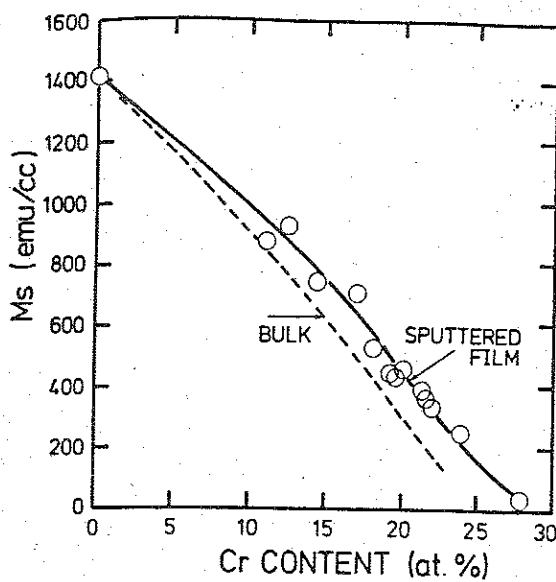
在垂直磁记录中，由于垂直于膜面退磁场的影响，垂直磁化的条件是：

$$H_K > 4\pi M_s \quad (\text{CGS 单位制}) \quad (4)$$

式中 H_K 为各向异性场， M_s 是饱和磁化强度。

纯钴的晶格是六角密堆积 (h.c.p.) 结构，具有大的矫顽各向异性能 $4.1 \times 10^6 \text{ erg/cm}^3$ 。易轴在 (0001) 方向，纯钴 (Co) 的 H_K 大约 5000 Oe， M_s 为 1400 Gs。为实现垂直磁化模式，要求薄膜具有垂直于膜面的单轴各向异性。因此必须在 Co 中添加其他金属以减小 M_s 。图 1-5 是 M_s 随 Cr 含量的变化关系。⁽¹³⁾ 选择 Cr 作为添加剂的原因是制成的膜抗氧化能力强，不改变 h.c.p. 相结构，而且 $CoCr$ 合金薄膜是 $Co-M$ 合金薄膜类中 H_K 最大的一种。图 1-6 是 $Co-M$ 系合金薄膜 H_K 值的比较。⁽¹³⁾

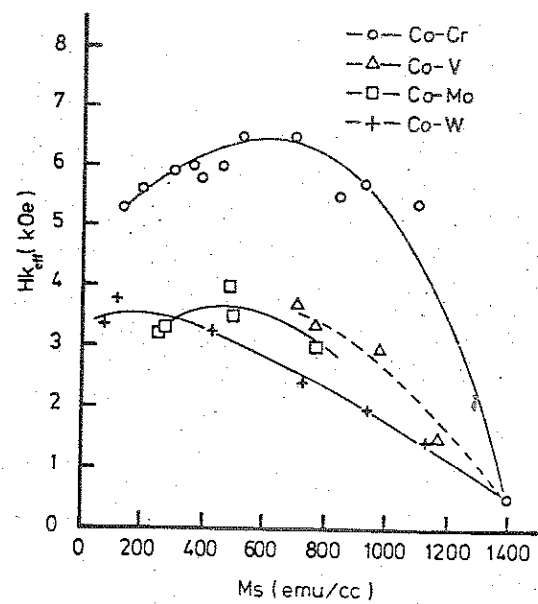
$CoCr$ 膜的另一特征是其柱状结构。⁽¹⁴⁾⁽¹⁵⁾ 柱状粒子的平均直径通常是厚度的 $1/10$ 。一个粒子就是一个磁化反转单位，还可以获得 $M-H$ 的矩形磁滞回线。可见，钴铬



Cr的含量与Ms的关系

图 1-5

(Co,Cr) 合金薄膜是最佳的垂直记录介质。



Co-M系薄膜 Hk 和 Ms 的比较

图 1-6

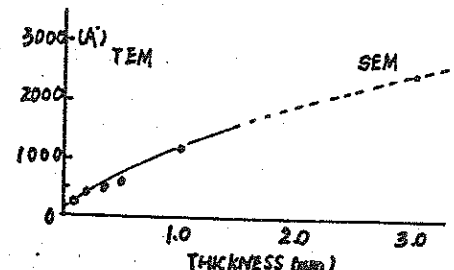
3.1-4 CoCr 膜研究的近况

岩崎俊一提出采用 CoCr 膜作为垂直磁记录介质，后来又提出以高矫顽力的 Fe-Ni 膜作为 CoCr 膜的底层以提高垂直记录的性能^{[16][17]}。由于人们对磁记录技术的重视，短短数年，已有产品投入市场^{[18][19]}。下面对有关研究成果加以简单总结。

1. 粒体结构和富积现象

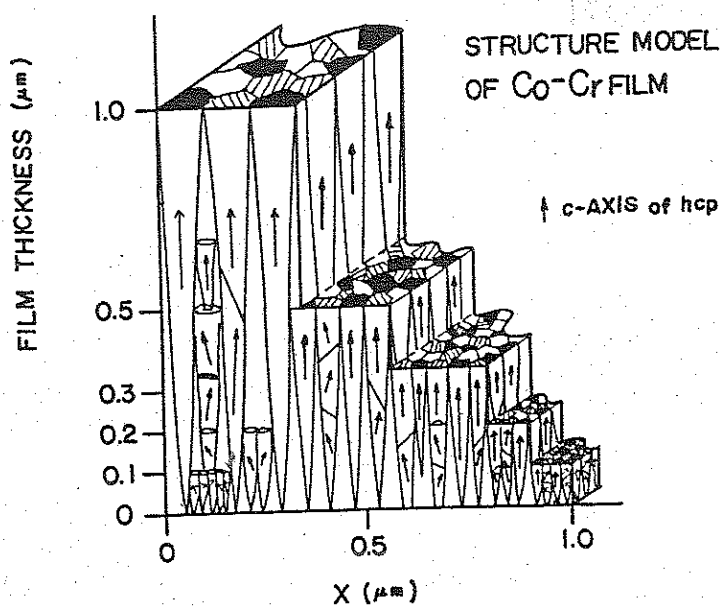
通过电子显微镜可以清楚地看到 CoCr 膜是六角密堆积结构。薄膜中的粒子呈圆柱形。粒子直径随膜厚呈单调增加的关系。^{[20][21][22]}

图 1-7、图 1-8 分别是 CoCr 膜的粒子直径和



膜厚与粒子直径的关系

图 1-7



Co-Cr膜的结构

图 1-8

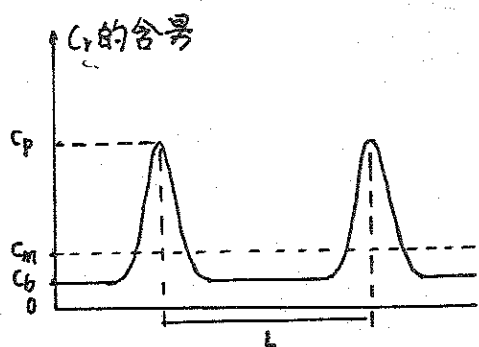
Co-Cr膜的结构模型。²³⁾⁽²⁴⁾⁽²²⁾ 薄膜中Cr元素在晶粒边界存在富积现象，是块状CoCr合金和薄膜的Ms居里温度不一致的原因。²³⁾⁽²⁴⁾⁽²²⁾ 图1-9是Cr含量在晶粒中和晶粒边界变化的情况。图中L是晶粒直径， C_m 是薄膜平均Cr含量， C_p 是晶粒边界Cr含量， C_b 是晶粒中心处Cr的含量。

2. 磁化过程

实验表明，Cr的含量在14~25at.%范围内时均能满足垂直磁化条件保证 $H_K > 4 \text{ kOe}$ ²⁵⁾。由于矫顽力能变化范围宽，其磁化过程不是前些研究者认为仅存在单一翻转机制的看法。²⁶⁾⁽²⁷⁾⁽⁸⁾

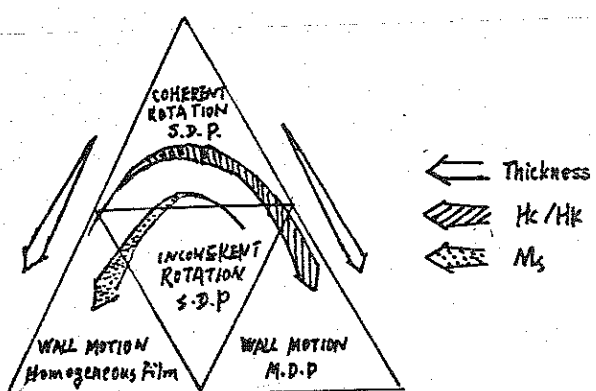
而是有多种可能的磁化过程。²⁸⁾ 图1-10

是Co-Cr膜可能存在的各种反磁化模式及其他们之间的关系。图中三角形的底部是



Cr在晶粒边界的富积现象

图 1-9



反磁化模式

图 1-10

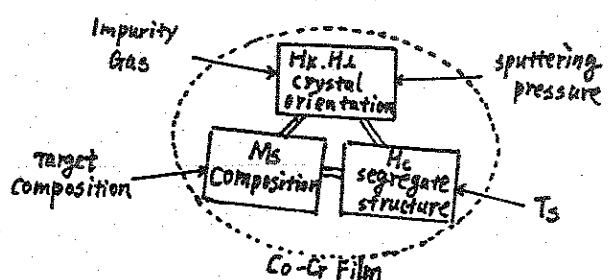
两种畴生移动模型（一种是理想的均匀薄膜，另一种是多畴钉扎模型），在顶部是一致转动模型。在中间是非一致转动模型，例如，湍旋式、扇形和折曲式，磁化反转模型随膜厚、 H_{c}/H_K 和 M_s 的变化而变化。

3. 沉积条件对磁特性的影响。

制备 Co-Cr 合金薄膜的途径有很多种，如：真空蒸发法、电镀法、化学镀法、溅射等。但溅射法是最好的一种方法，在溅射法中影响 Co-Cr 膜结构和磁特性的参数很多，很难说

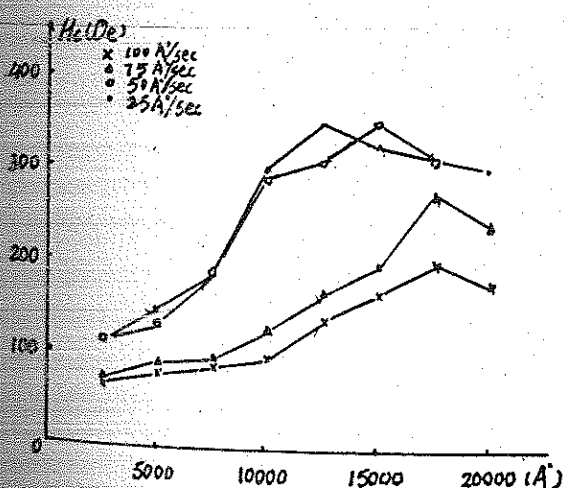
明哪一个因素起主要作用。图 1-11 是溅射条件与磁特性之间的关系图。⁽²⁸⁾

由于各实验室采用的溅射设备不同，获得的实验结果也有很大的差别。例如，图 1-12、13、14 是 W.G. Haines 等人用直流磁控溅射台得到的结果。⁽²⁹⁾ 图 1-15、16、17



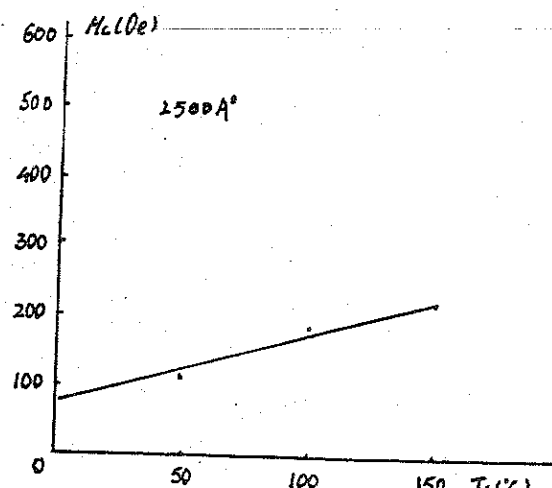
溅射条件与磁特性的关系。

图 1-11



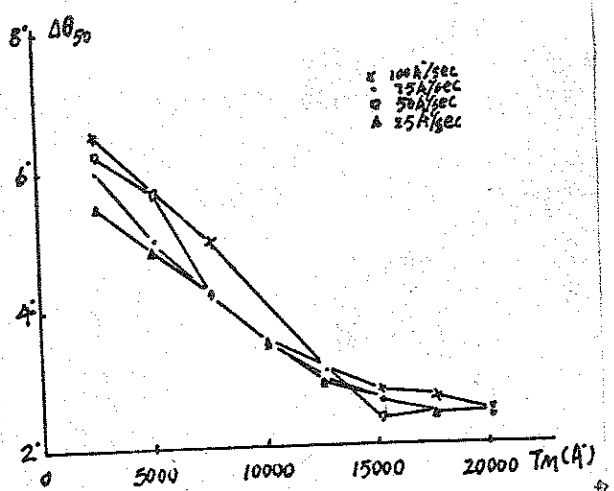
膜厚 T_m 与矫顽力 H_c 的关系。

图 1-12



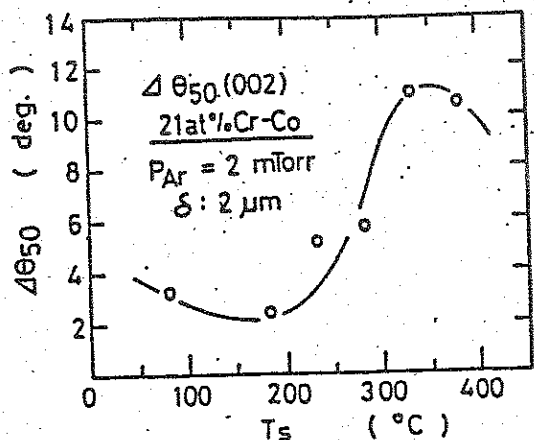
基板温度 T_s 与矫顽力的关系。

图 1-13



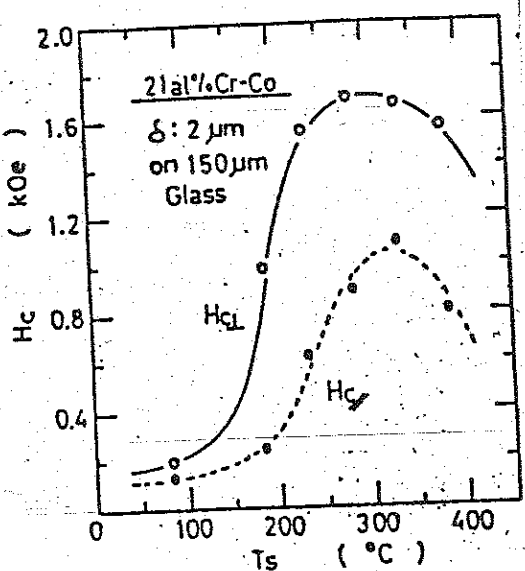
膜厚与取向度的关系.

图 1-14



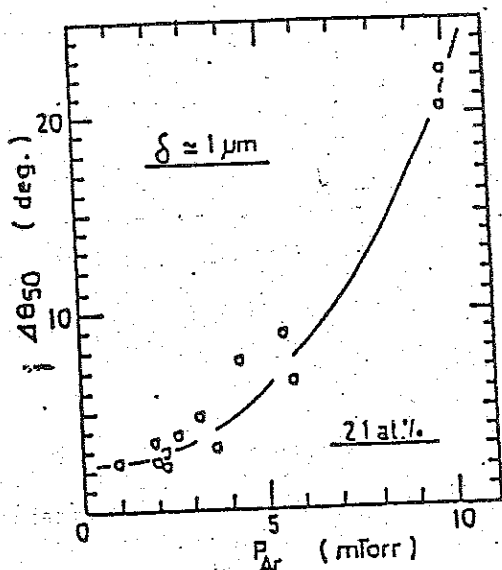
基板温度与取向度的关系.

图 1-15



基板温度与矫顽力Hc的关系.

图 1-16



氩气压强与取向度Δθ₅₀的关系.

图 1-17

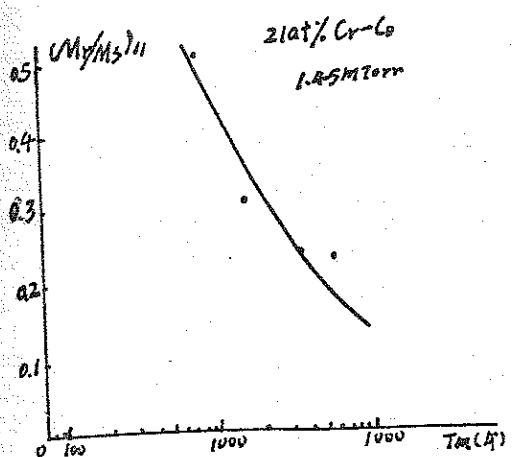
图 1-19 是 Y. Niimura 等人的部分结果。⁽³⁰⁾⁽³¹⁾

M. Mayr 等人基板温度对平行和垂直于膜面的相对剩磁 m_r^{\parallel} , m_r^{\perp} 的影响如图 1-20 所示。⁽³²⁾ 图 1-21 是日本岩崎俊一的结果。⁽²⁰⁾

日本的大内一弘等人也在这方面进行细致深入的研究。⁽¹³⁾ 结果如图 1-22, 23, 24, 25, 26。

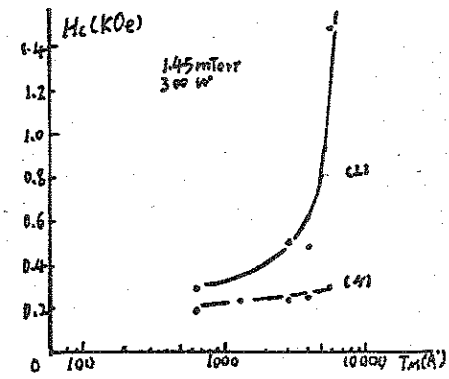
另外还有许多这方面的研究结果。

从上述的结果可以看出, 影响 CoCr 膜结构和磁性能的因素很多, 而且由于



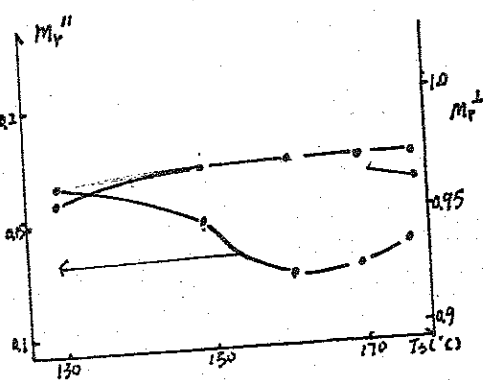
膜厚T_m与(M_y/M_s)₁₁的关系.

图 1-18



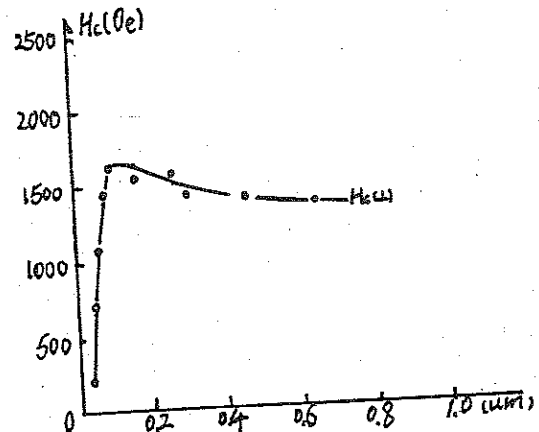
膜厚T_m与矫顽力的关系.

图 1-19



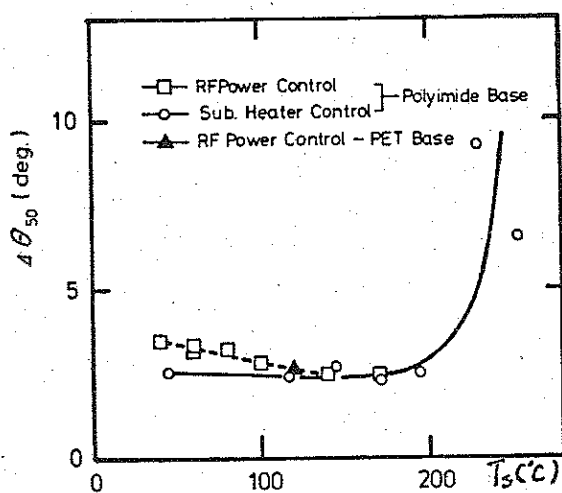
基板温度Ts与M_v''、M_v¹的关系.

图 1-20



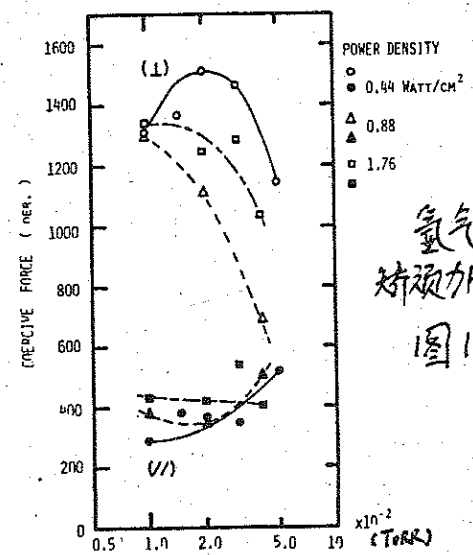
膜厚T_m与矫顽力Hc的关系.

图 1-21



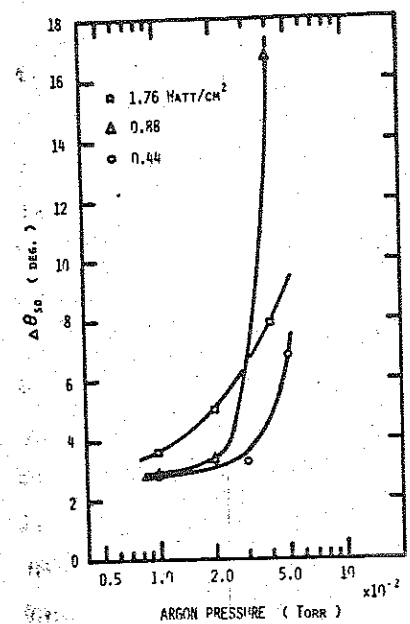
基板温度Ts与取向性4θ₅₀的关系.

图 1-22

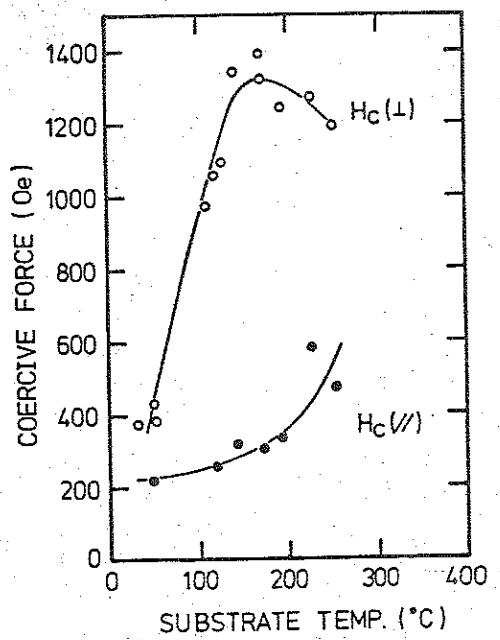


氢气压P与
矫顽力Hc的关系.

图 1-23



氩气压强与取向性 $\Delta\theta_{00}$
的关系 图 1-24

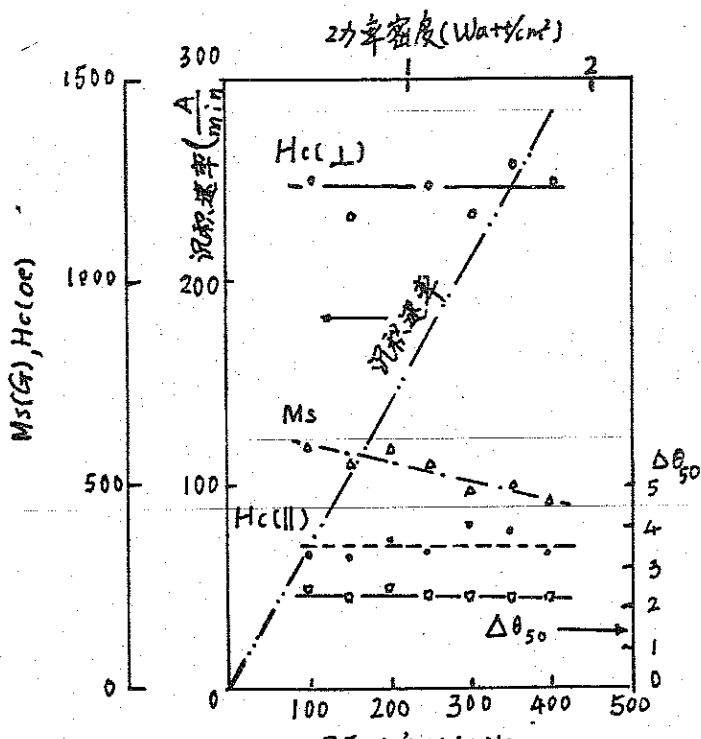


基板温度与
矫顽力 H_c
的关系

图 1-25

制备条件的不同，各种因素的影响有很大的差别，总的变化趋势也不尽一致，对实验结果也有种种不同的解释。

但是总的说来，以前的研究还是获得了许多可喜的成果。对以前工作⁽⁴⁴⁾的结果表明：薄膜的微结构（粒子大小、形状、取向）取决于溅射条件，而微结构又决定了薄膜的磁性能。氩气压主要影响结构取向。随氩气压减小或薄膜厚度的增加 $\Delta\theta_{00}$ 呈减小趋势。控制矫顽力的主要因素是基板温度，在溅射过程中随基板温度的升高 Cr 的富积现象增加，矫顽力 H_c 显著提高。



溅射功率对膜性能的影响

图 1-26

增加氩气压和基板温度会造成柱状粒子直径增大，表面粗糙和 $\Delta\phi$ 的增加。在溅射过程中残余气体的存在或不纯气体的放生将严重影响晶格结构和轴向取向，因为某些不纯气体诸如 N_2, O_2 水蒸气等在溅射期间可能与 $CoCr$ 发生反应或存于正在生长的膜中。上述情况将引起郎相和C轴取向的严重变坏，导致 Co 相的生成和垂直各向异场化的减小。

上述结果均是目前国外研究成果，在国内尚未见到这一方面的系统的研究和报到。为此我们采用射频磁控溅射法制备了一系列的 $CoCr$ 合金薄膜垂直磁化介质，并讨论和研究溅射条件对 $CoCr$ 薄膜结构和磁特性与以前的结果进行了比较。

第二章 CoCr 膜的制备和研究方法

制造 CoCr 膜的方法有多种，制造纵向磁化录带膜的各种途径都可以经过适当改变工艺条件来制备 CoCr 合金薄膜。目前认为制备 CoCr 膜的最佳方法是溅射法，这是因为采用溅射法具有如下优点：⁽⁴¹⁾⁽⁴²⁾⁽⁴³⁾⁽⁴⁴⁾⁽⁴⁵⁾

- (a) Co, Cr 均为高熔点金属，比其他制备方法具有高的附着力和重复性。而且在溅射过程中，钴和铬具有大致相同的溅射产额，便于成份的控制。
- (b) 制备的膜均匀性好，表面光滑，纯度高。
- (c) 具有良好的热稳定性和化学稳定性，抗腐蚀强度高，耐磨。
- (d) 易于批量生产，可以在多种基板材料上成膜。
- (e) 改变溅射条件可以有效地控制膜的结构和磁特性，获得性能优异的薄膜。

所谓溅射就是在靶表面的附近空间加以磁场（如图 1 所示）制成离子枪靶，能有效地把一次电子限制在靶的附近空间运动，由于电场和磁场的正交加速，使电子沿着靶表面的空间的环形轨道运动。这样在靶附近造成一个高密度的等离子区，使其流过大而冲向靶，即使离子流效率降低了解射率，即使

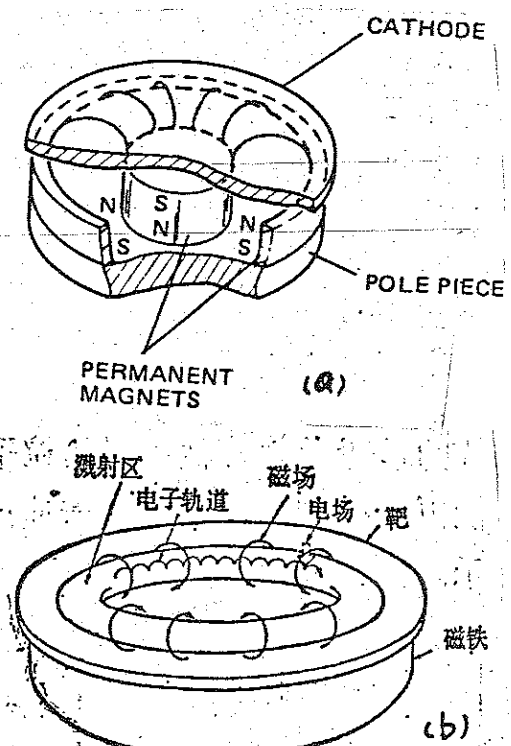


图 1 溅射靶

气压在1mbar以下也可产生辉光放电，增加了薄膜的沉积速率，最终实现了高湿低温溅射。⁽⁴⁴⁾⁽⁴⁵⁾

§2-1 CoCr膜的制备

§2-1-1 射频磁控溅射装置

我们制备钴铬(CoCr)合金薄膜的设备是从日本ANELVA公司进口的SPF-312型磁控溅射台。

图2-1.2-2 分别该装置略

图和真空室简图。本设备

可进行射频(13.56MHz)溅

射、直流溅射、及空溅射以

及反溅射等。基板可加直

流偏压0-200V。基板可

进行加热和水冷、外热式

钟罩加热和冷却系统。基板

转速0-15 rpm。靶-基板间

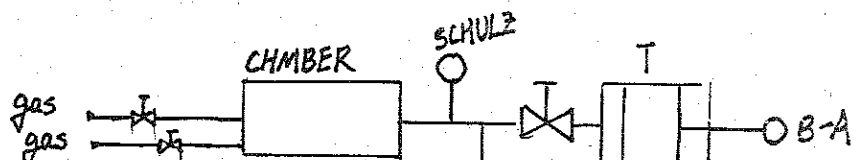
距在50-100mm范围内可调。

真空中有挡板和为获得薄

膜均匀性的补偿板。极限

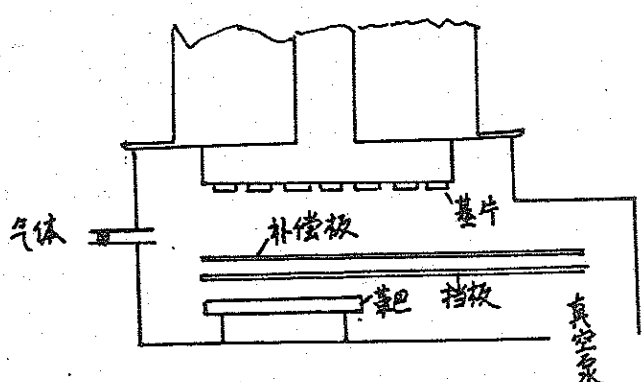
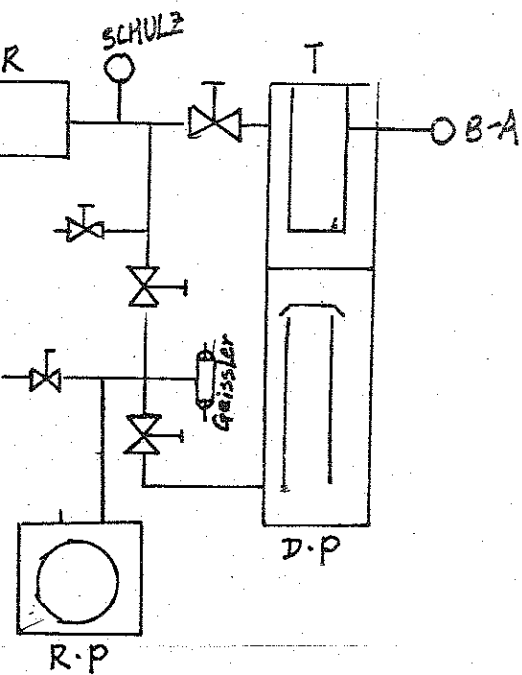
真空中度可达 2×10^{-8} torr。溅射功

率最大为3kW。



装置简图

图2-1



真空室 图2-2

§2-1-2 磁控靶

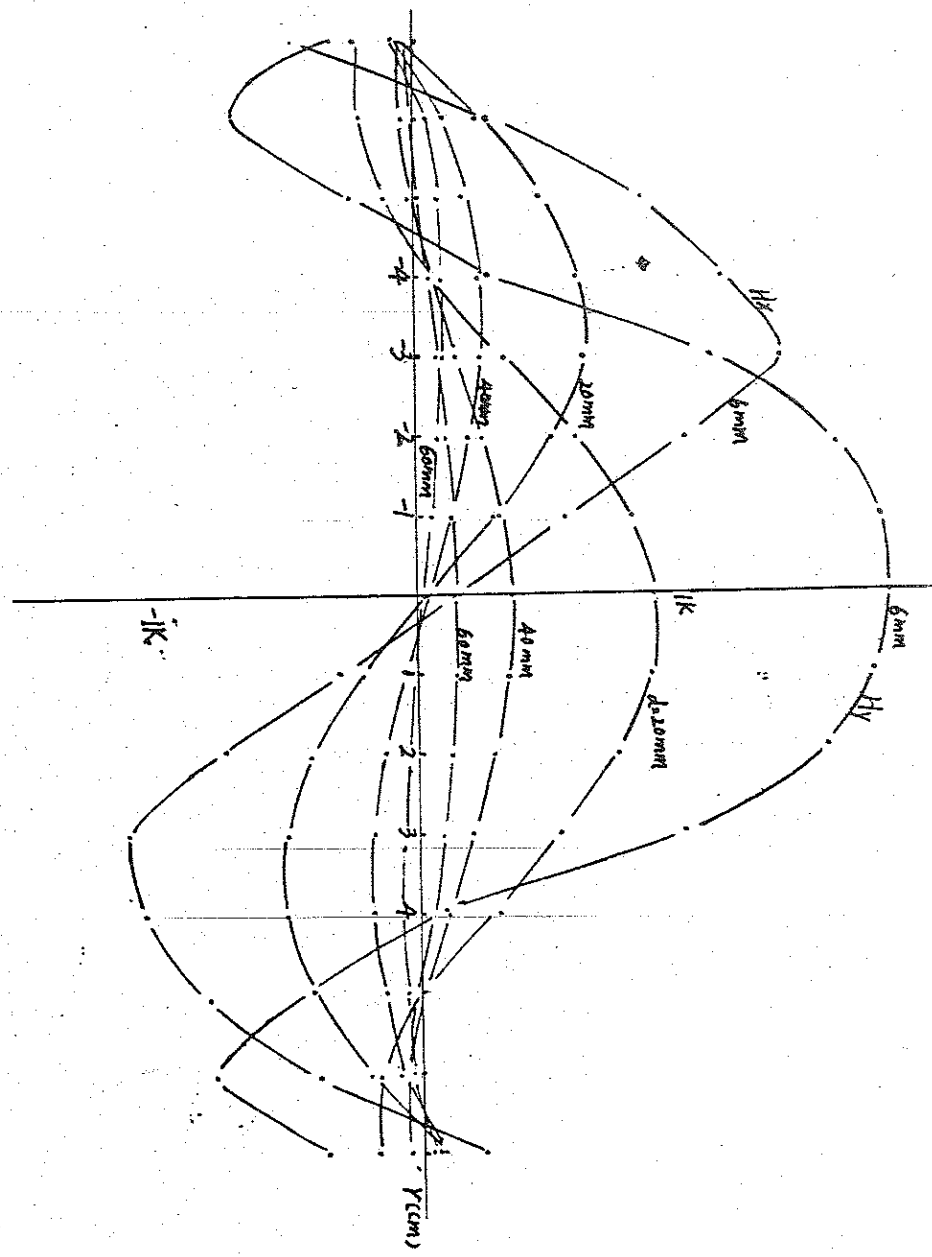
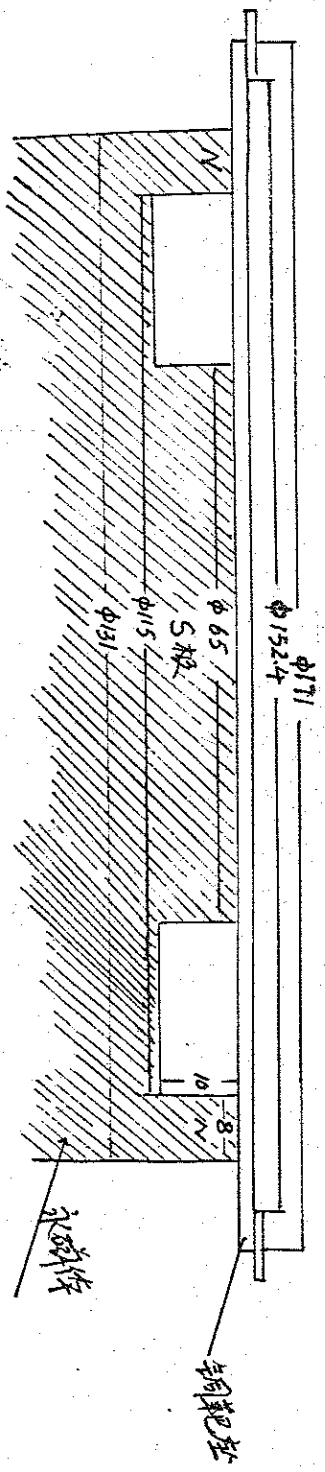
钴铬(CoCr)合金靶是经真空熔炼浇注而成，直径为152.4mm(6inch)，厚度为4.5mm。靶结构致密，无空心，不存在缺陷和气泡，以便保证在大功率下靶不致于发生变形、局部熔化或放电异常现象。靶的成份为19.4 Cr at% - Co。

为使溅射正常进行和靶的温度不至于因溅射而升温太高，靶的粘接必须良好，在实验中我们用铟锡(In-Sn)合金粉靶，保证了靶和靶座之间具有良好的导电、导热性。

在溅射过程中为了降低靶的温度，靶的水冷是必不可少的。因在溅射过程中大约有50-70%的热量是通过靶的水冷系统散发的。故水冷的效果决定了可使用的最大功率。水冷效果取决于靶座粘接剂和靶自身的热传导性。水冷系统能有效地从靶的背面除去热量，降低靶的温度，提高溅射功率。另外，还应使水的导电率尽量低以减少电流通过水流向地面上的损失。

靶表面空间的磁场是由稀土钴永磁体产生的。图2-3是在未安装靶时，随距离的不同磁场的水平分量 H_x 和垂直分量 H_y 的分布。由图可见 H_x 的最大值为11000e， H_y 的最大值为18000e。靶表面空间的磁场分布和强度随靶材料和厚度不同而发生变化。图2-4是4.5mm厚的CoCr靶表面空间的磁场 H_x 、 H_y 随位置的变化关系。

实验中在进行正式溅射前，先在档板关闭情况下进行预溅射，目的是清洁和补偿靶表面，除去靶表面的氧化物和污染物。



152.4 2-3

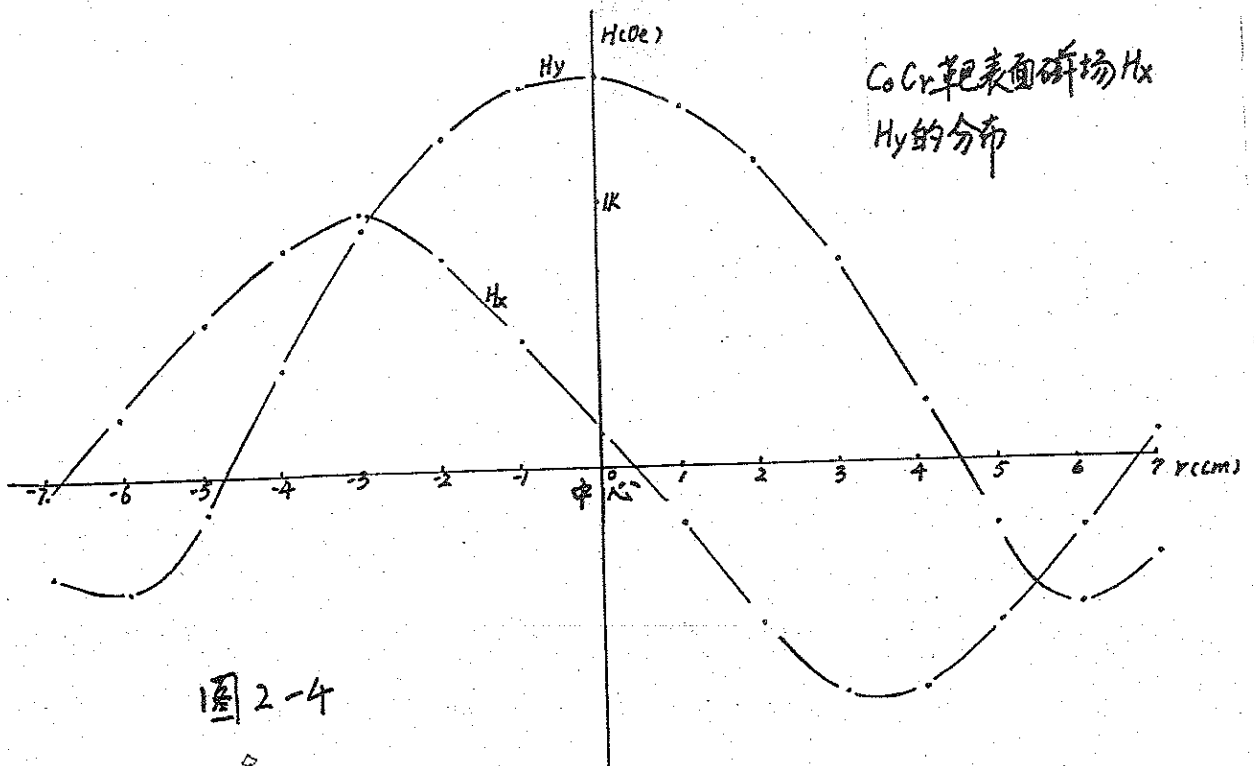


图 2-4

薄膜的均匀性受到很多因素的制约，例如真空系统的几何形状，靶—基板间距、溅射角至中流等。

对于磁控溅射更难获得膜厚均匀分布的薄膜，因为溅射厚度与离子高密度的等离子区，而这个环形区域又

依赖于磁场的分布，并且随着靶的刻蚀，磁场的分布将

发生变化。故仪器中配有补偿板以改善膜的均匀性，在实验中我们首先调整靶—基板的问题，测得在不同靶—基板间距下薄膜的厚度分布情况，测得

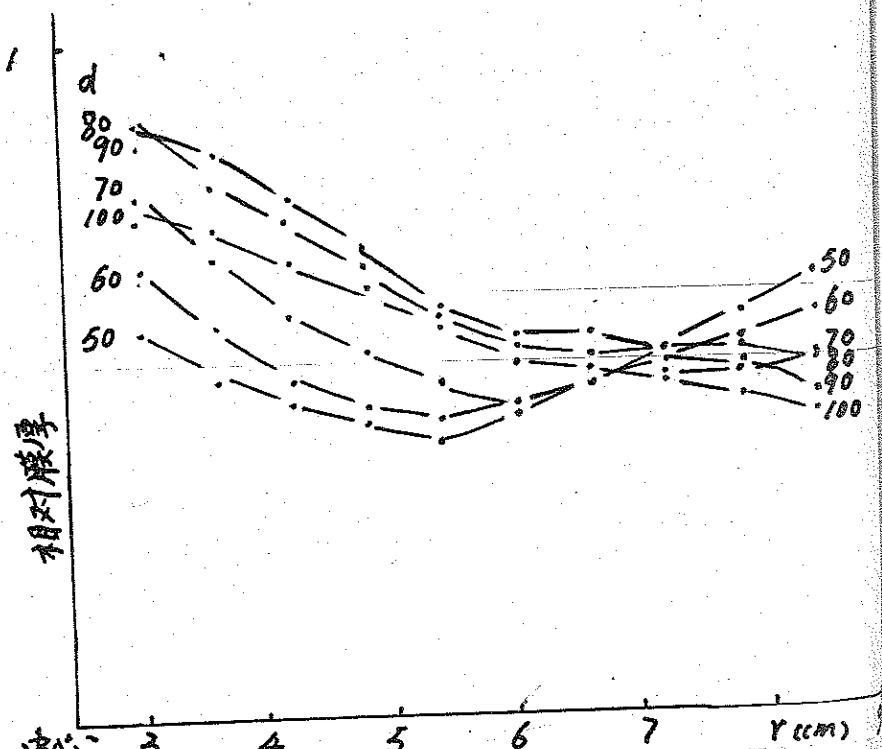


图 2-5

结果如图2-5所示，表明靶—基板间距在60mm时可获得均匀性较好的薄膜。

§2-1-3 放电特性

图2-6 是在溅射条件下

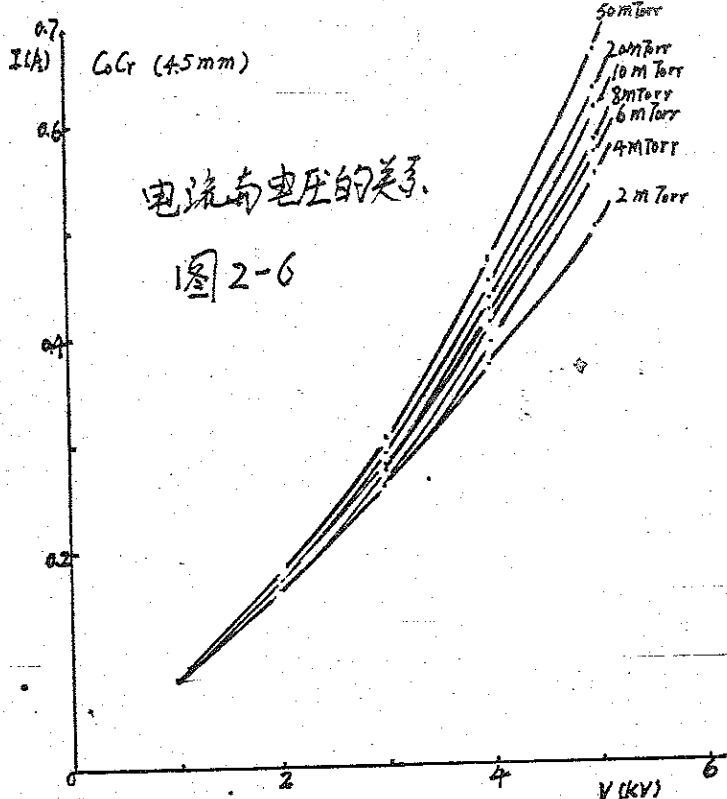
45mm厚的CoCr靶时，溅射电流与电压的关系。进行拟合后得到在某一气压下的关系式：

$$I = KV^n \quad (1)$$

其中 n 值为 0.077， n 值在我所选的气压范围内为

1.13~1.31。如图2-7所示。

从图中可以看出，在其他溅射条件不变的情况下， n 值随气压增大而增大。



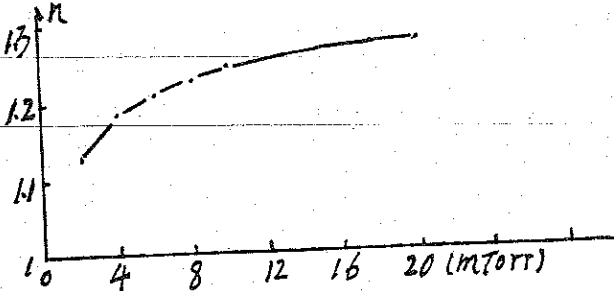
n 值与溅射氮气压的关系。

图 2-7

图2-8 是溅射功率 P_w 与电压的关系，按照功率 $P_w = 2V$ 的关系可得：

$$P_w = 2V = KV^n \cdot V = KV^{n+1} = K \cdot V^n \quad (2)$$

故此我们对 P_w 、 V 关系也进行了拟合，拟合的 n 值结果如图 2-10 所示，可见



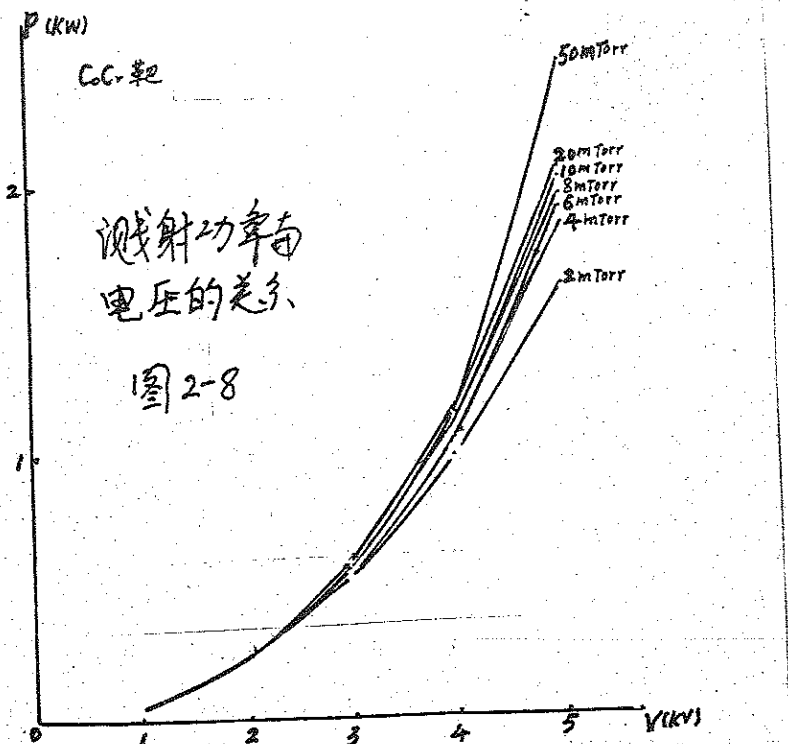


图 2-8

在相同氩气压下满足 $n' = n + 1$ ，而且二等式的常数 K（分别为 0.077 和 0.050）也近似相等，说明理论与实验符合较好。

图 2-11 是激射功率与电流的关系，通过拟合可得：

$$I = K' P_w^{\frac{1}{2}} \text{ 或 } P_w = K' I^2$$

$$\text{或 } P_w \propto I^2 \quad (3)$$

利用上述结果，我们可以获得任意的电压、电流、功率和氩气压之间的依赖关系，为寻找合适的激射条件提供了方便。

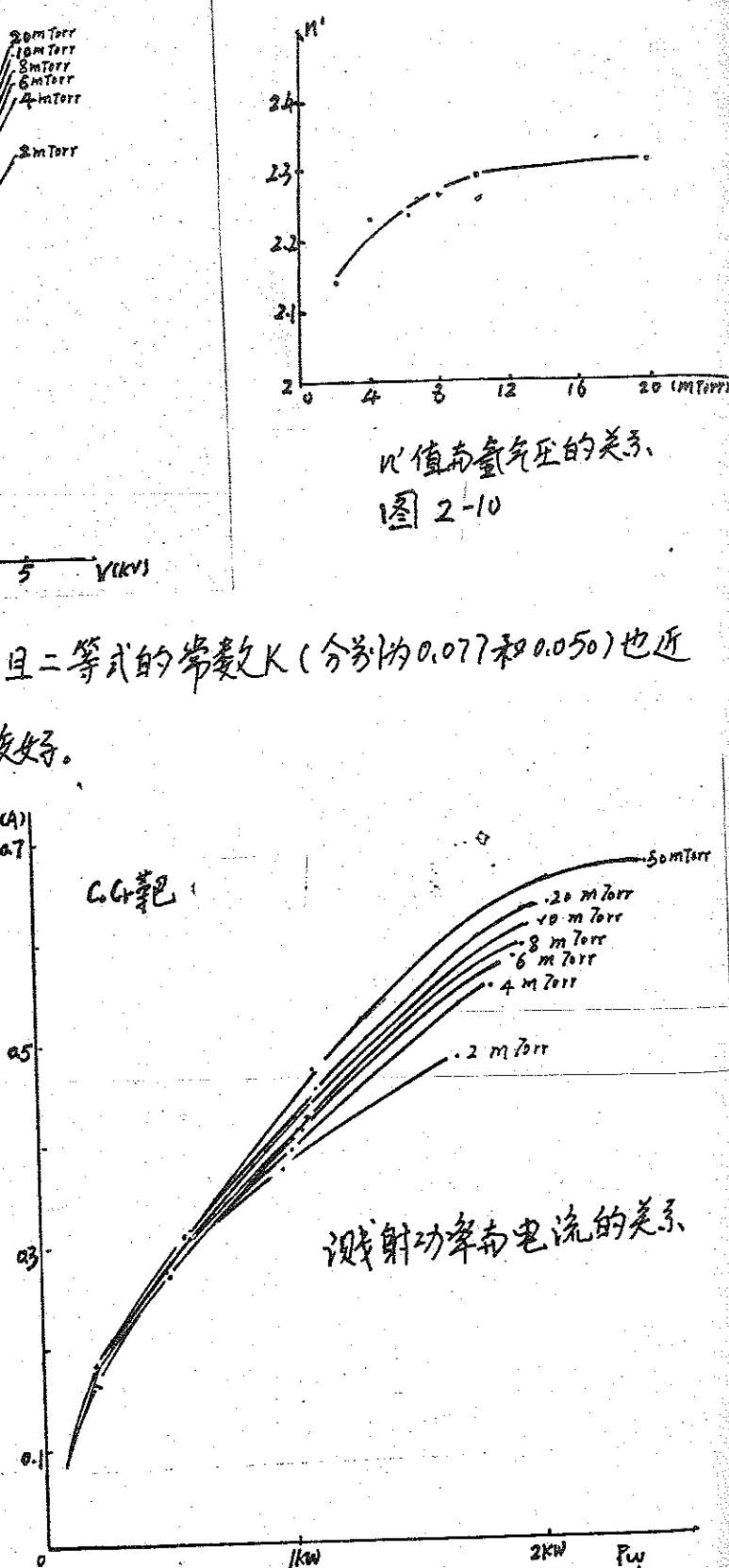


图 2-11

§2-1-4 基板

一般薄膜都不能支撑本身，而必须为它提供一个载体，也就是基片或基板。对基板的要求是根据薄膜的用途而定的。基片作为薄膜的机械支撑物，要求有长期的热稳定性和化学稳定性以及一定的机械强度。为获得光滑均匀的薄膜，基板表面的光洁度应达到原子数等级并且完全平坦，没有气孔和缺陷。除支持薄膜外，基板与薄膜应无相互作用。然而无论如何，基板表面必须绝对清洁和不被污染。⁽⁴⁶⁾

在实验中我们选用K₉型玻璃作为基板，该玻璃是目前国产玻璃中性能最稳定、硬度最高的一种。

基板的制备是先把大块玻璃用内圆切片机切成8×6×2 mm的薄片，然后进行研磨和抛光，直至放在400倍的光学显微镜下没有观察到缺陷和划痕为止。

基板上的污染物会影响在它上面形成的薄膜的性质。⁽⁴⁷⁾故使用前必须充分清洗，清洗意味着破坏基板和污染物之间的吸附键而不损坏基板本身。基板的污染包括制造过程中的污染、人的接触、灰尘、纤维以及油分子等。在实验中我们采用了机械擦洗、化学清洗和超声清洗相结合的方法，使用了浓硫酸、双氧水、去离子水、丙酮、乙醇等清洗剂。最后将清洁的基板放入盛有丙酮的容器中浸泡待用。

即使基板进行了严格的清洗，其表面总还是有一些污染物，特别是表面吸附的气体分子。故在溅射前需要对基板在真空中共烤，使污染气体解析。

本实验中，基板烘烤温度在 $200-300^{\circ}\text{C}$ 范围内，烘烤时间为半小时。

在实验中为控制基板温度，基板配有电阻加热、保温装置和水冷系统。实验中发现要使基板温度达到稳定状态需大约半小时的弛豫时间。作为一例子，图2-12是基板温度设定在 150°C 时，基板温度随时间的变化关系。

在溅射时，由于离子不断地轰击基板，将引起基板温度的上升。为保证薄膜尽量在相同基板温度下生长，基板与水冷系统要求有良好的导热性。

2-1-5 溅射条件

表3-1 薄膜的基本制备条件

本底真空	$> 1 \times 10^{-7} \text{ Torr}$	溅射功率	1-2.9kW
溅射气压	0.6-50mTorr	电压	3.8-6.2KV
基板温度	水冷 - 250°C	电流	0.35-0.68A
溅射时间	5-44分	靶-基板间距	50-100mm
沉积速率	90-420Å/min	膜厚	0.05-0.6μm

溅射前本底真空抽至 $1 \times 10^{-7} \text{ Torr}$ 以上。选择纯度约99.99%的氩气作为溅射气体，溅射氩气压可以通过自动流量计加以控制。溅射功率可调整电压来

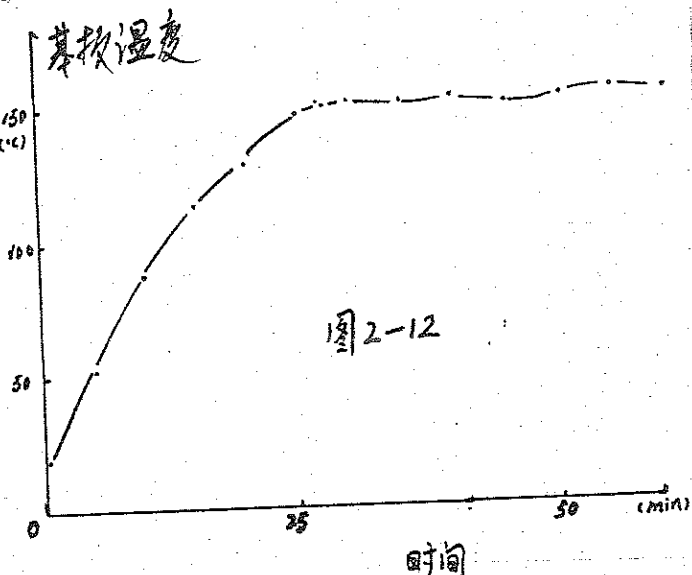


图2-12

改变。正式溅射前一般预溅射6分钟，膜厚可根据沉积速率改变溅射时间加以控制。

薄膜的沉积速率主要取决于溅射功率和溅射气压，而溅射功率是靠调节电压、改变电流来获得适当的功率的。

图2-13、2-14分别是沉积速率与溅射功率和电流的关系，可见沉积速率随溅射功率或电流的增加而增加。

基本上呈线性关系。图2-15是沉积速率随溅射气压P的变化关系，显然，溅射气压对沉积速率的影响不如溅射功率大。在氮气压为2mTorr时，沉积速率存在一个极大值，造成这种变化趋势的原因，

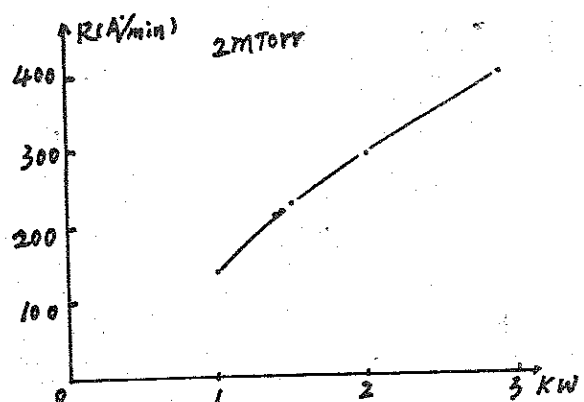
可解如下：在气压开始上升的阶段 沉积速率与气压的关系 图2-15

使等离子体密度增加，轰击靶材料的 A^+ 粒子增多，而使沉积速率增大，然而增大

气压的同时也引起溅射原子的碰撞加剧。

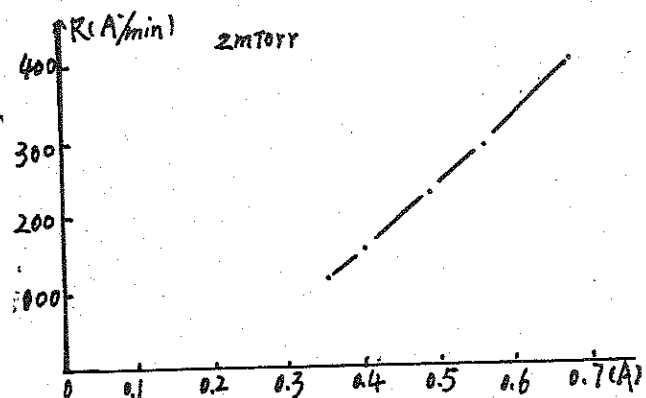
使一部分溅射原子不能沉积到基板上，这两种效应的结果使沉积速率在某一气压下存

在一个极大值，再增加气压，由于碰撞效应

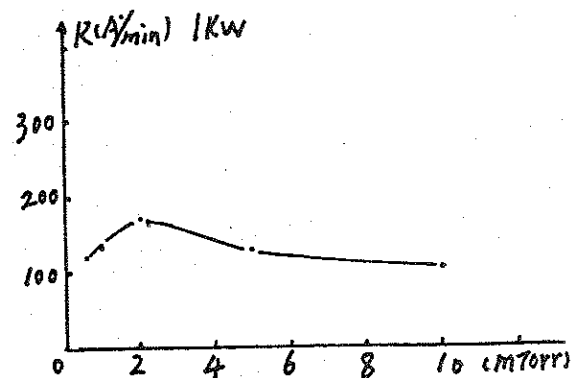


沉积速率与功率的关系

图2-13



沉积速率与电流的关系 图2-14



气压与沉积速率的关系 图2-15

占主要地位，及使沉积速率下降。

§ 2-2 研究方法

1. 膜厚的测厚：

利用国产 6TA 型干涉显微镜来测薄膜的厚度，其原理如图 2-16 所示。S 为单色光源，其波长为 5400\AA 。R 为平面反射镜，F 为待测薄膜。M 为读数显微镜。当光束照在基板表面和薄膜表面的台阶处时，产生的干涉条纹如图 2-17 所示，膜厚可通过下式得出：

$$T_m = \frac{b}{a} \cdot \frac{\lambda}{2} \quad (4)$$

入射光波长 5400\AA ，这种方法分辨率较高，但是薄膜的台阶质量好坏直接影响测厚精度。

2. 结构分析及 ΔB_{50} 的测厚：

采用从日本理学公司进口的 D/max ⅢA 型 X—射线衍射仪测薄膜的衍射曲线和 (002) 峰的摇摆曲线，分析其结构和取向状态。

3. 比饱和磁化强度及磁滞回线的测厚：

采用日本东菱 VSM-5S 振动样品磁强计，测厚时最大磁线场为 10000Oe 。样品的尺寸为 $6 \times 6 \text{ mm}^2$ ，测厚薄膜垂直和水平方向的磁滞回线，分析其磁性能。

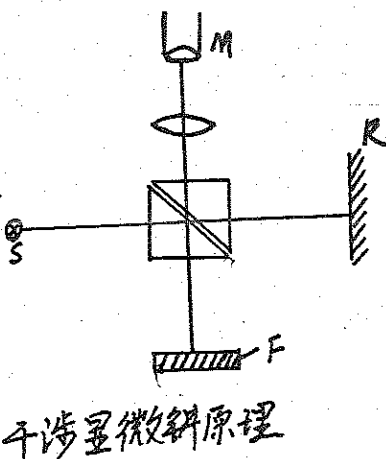


图 2-16



图 2-17

第三章 结果与讨论

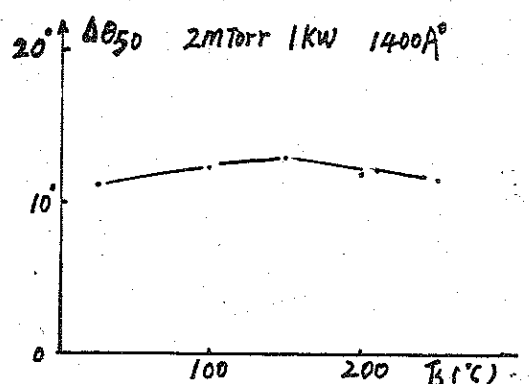
3.1 沉积条件对结构的影响

对不同实验条件制备的薄膜样品，进行了X-射线结构分析，并测得了(002)峰的摇摆曲线。作为一个具体例子，图3-1、3-2是氢气压为1mTorr、功率为1kW、基板温度为180°C、膜厚为5900Å时，薄膜样品X-射线衍射曲线及其(002)峰的摇摆曲线。

衍射曲线用来判断晶粒的相结构；摇摆曲线的半峰宽度Δθ₅₀表征晶粒(001)轴围绕薄膜法线的分散度或取向度。如果摇摆曲线的半峰宽度越小，就说明薄膜的取向性越好。既然，C₆₀膜的垂直各向异性来源于在C轴的C轴垂直于膜面，因此膜中C轴的取向度Δθ₅₀是判断垂直记录介质好坏的一个重要参数。^[48]在此我们首先讨论沉积条件对Δθ₅₀的影响。

1. 基板温度的影响

图3-3是在不同基板温度T_b下Δθ₅₀的值。结果表明随基板温度的变化Δθ₅₀没有明显的变化，说明在0—250°C范围内基板温度对Δθ₅₀没有显著的影响。

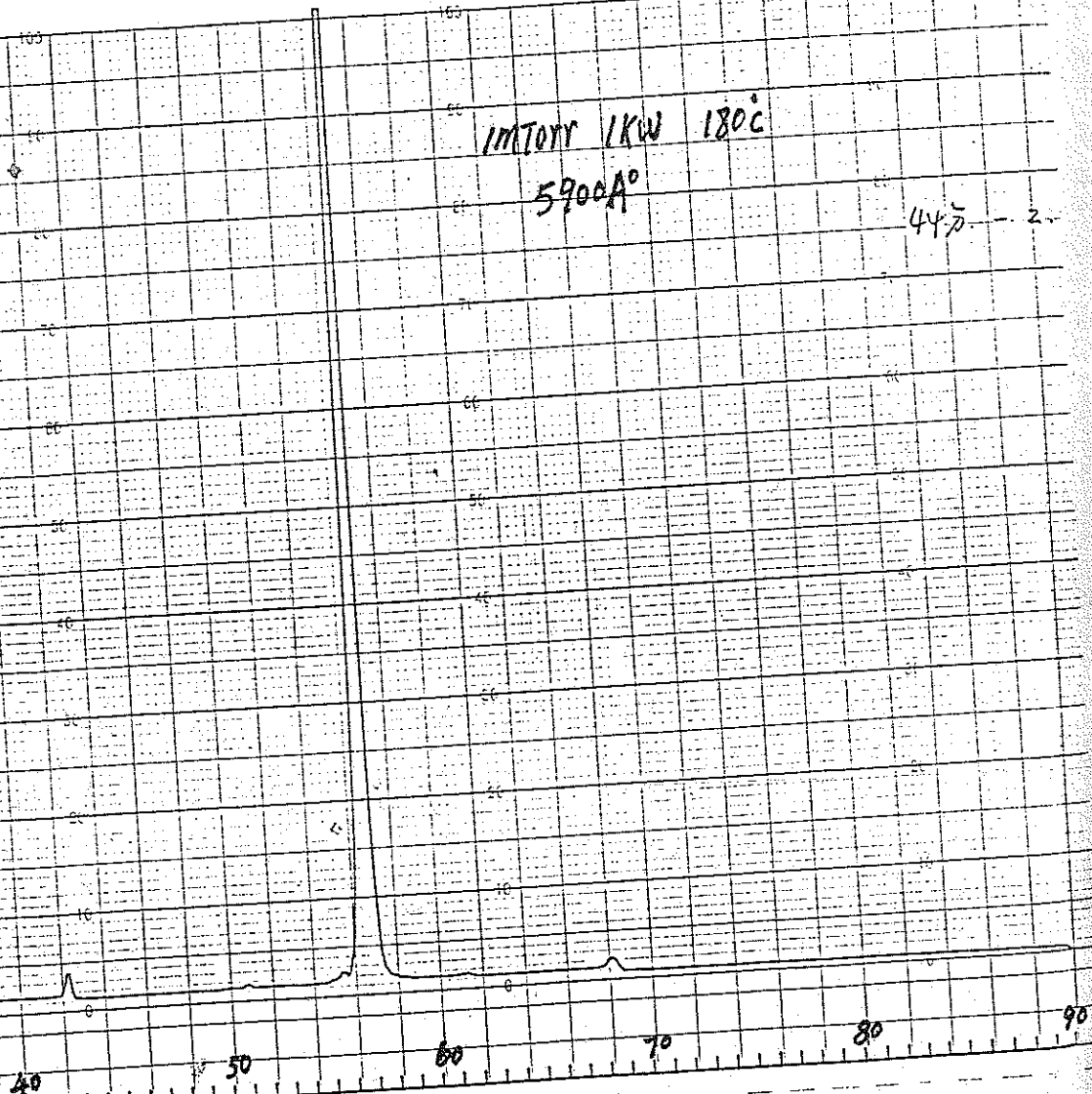


基板温度与取向性Δθ₅₀的关系。

图3-3

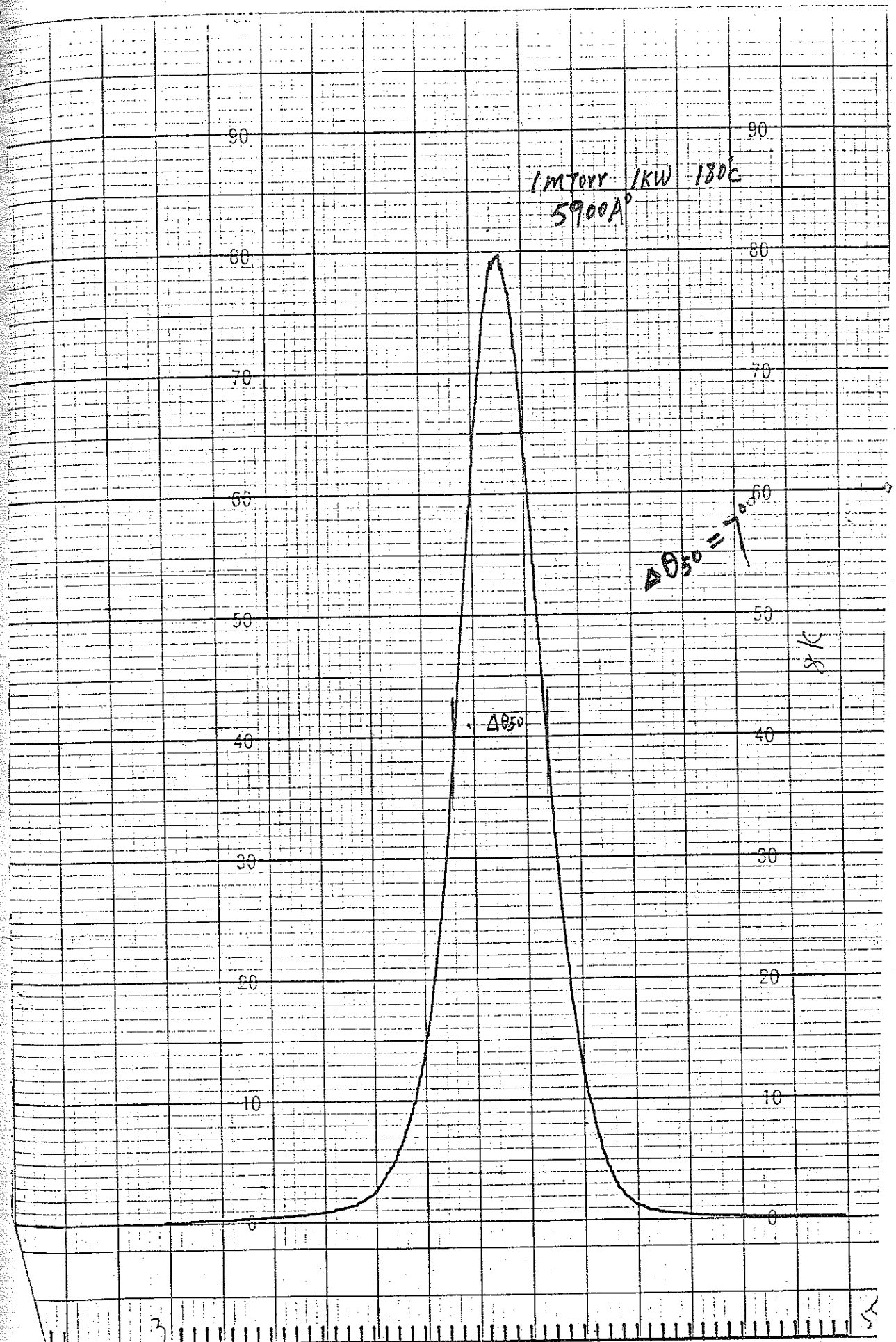
AKI CHART NO. KC-01

1973-4-13



C_oCr膜的X-射线衍射曲线

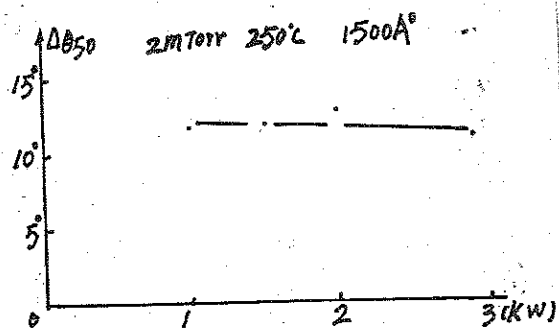
圖3-1



C_xCr膜(002)峰的搖擺曲線 圖3-2

2. 激射功率的影响

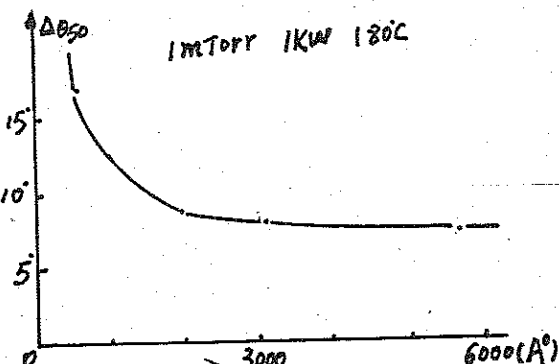
图3-4给出了溅射功率 P_w 与 $\Delta\theta_{50}$ 的关系。结果表明溅射功率 P_w 从1-3kW范围内对 $\Delta\theta_{50}$ 没有明显的影响。



溅射功率 P_w 与 $\Delta\theta_{50}$ 的关系。

3. 膜厚的影响

图3-5是薄膜的厚度对 $\Delta\theta_{50}$ 的影响。当我们在非晶的玻璃基板上溅射薄膜时，在膜生长的初始阶段存在一个软磁特性的过渡层，在薄膜的厚度小于1000 \AA 时，CoCr膜是处于推弱状态。⁽⁴⁹⁾⁽⁵⁰⁾



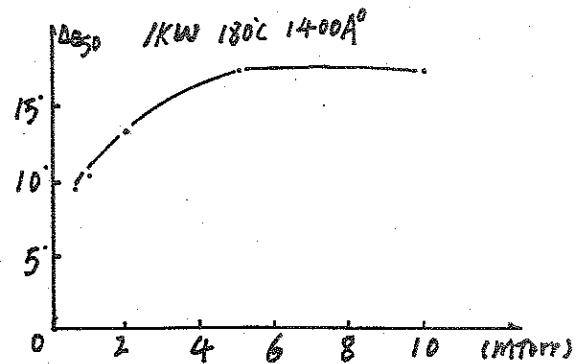
膜厚与 $\Delta\theta_{50}$ 的关系。

由于其板温度高，热扰动作用的影响，使薄膜的缺陷多，等轴粒子自由取向，很多粒子还处于超顺磁状态。随着膜的生长，厚度的增加才逐步形成hcp相，C轴的取向性才逐渐得到提高。从实验结果看出，当薄膜的厚度大于2000 \AA 时，摇摆曲线的半峰宽度 $\Delta\theta_{50}$ 明显减小，表明晶体结构和柱状粒子的排列均得到改善。另外，可通过适当改变溅射条件来减小过渡层的厚度。⁽⁵¹⁾⁽⁵²⁾

4. 氮气压 P_N 的影响

溅射氮气压对 $\Delta\theta_{50}$ 也有明显影响。如图3-6所示，氮气压对薄膜的机械特性有明显的影响，⁽²²⁾当氮气压 P_N 增加时，使薄膜的表面粗糙、颗粒

大小不均匀，晶粒间出现裂缝，使薄膜的机械强度变差，并且出现孔洞，导致薄膜密度降低，耐磨性下降。结果表明在氢气压较低时，也就是说于 2mTorr 时，可获得取向性较好、机械强度高的薄膜。



氢气压P_{H₂}与D₅₀的关系

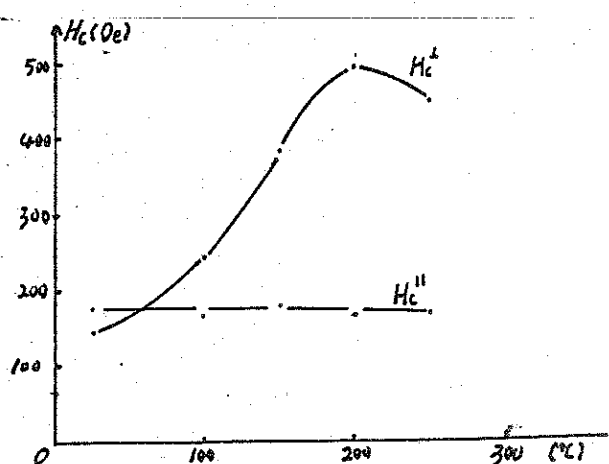
图3-6

3.3-2 放射条件对磁特性的影响

对每一薄膜样品都用振动样品磁强计测其垂直于膜面的磁带回线和平行于膜面的磁带回线，根据磁带回线可大体判断薄膜的磁性能好坏。作为一例子，图3-7、3-8是基板温度为180°C，P_{Ar}为1mTorr，P_{He}为1kW，膜厚为3000Å时薄膜的垂直、水平方向的磁带回线。

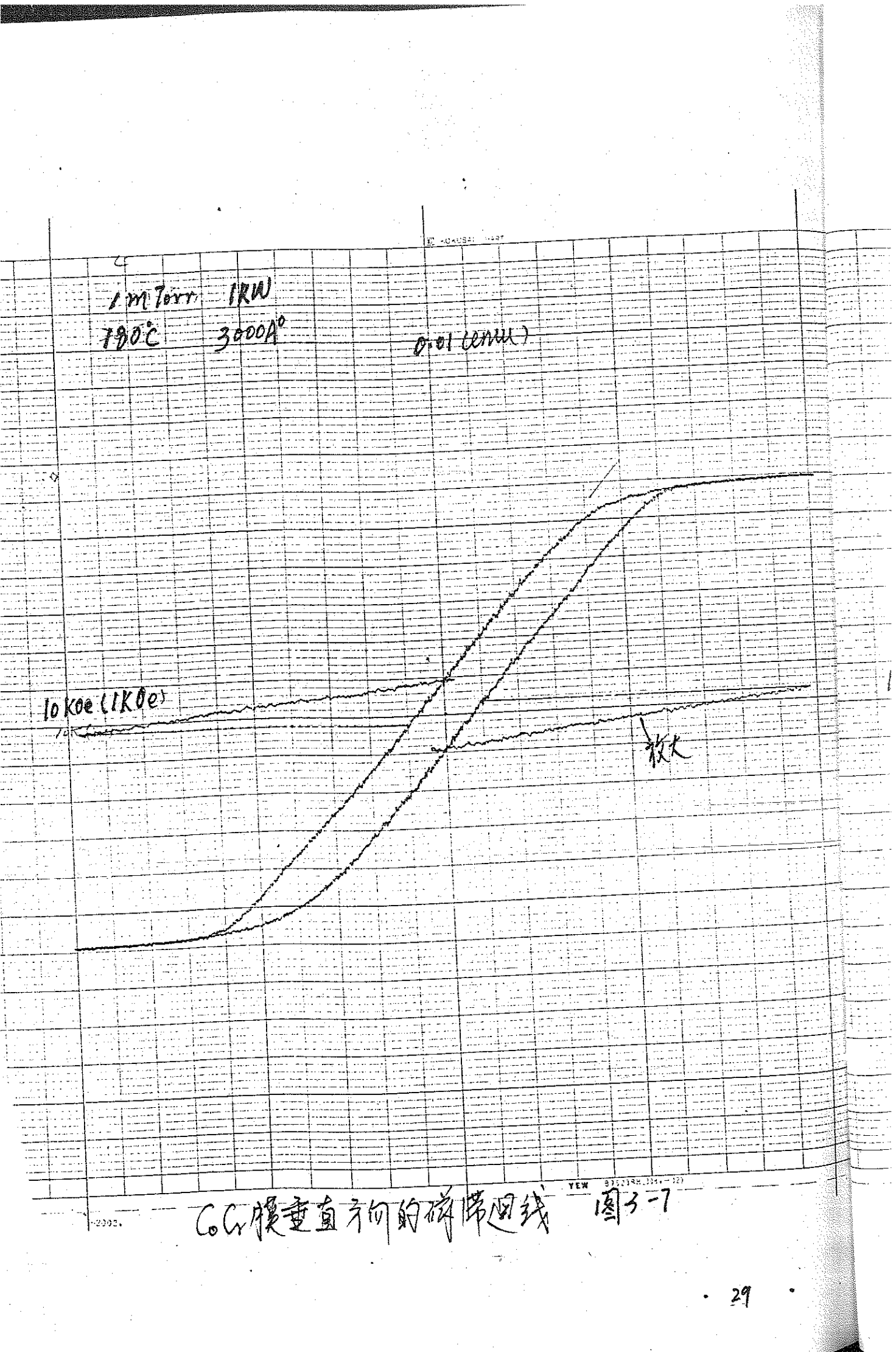
1. 基板温度的影响

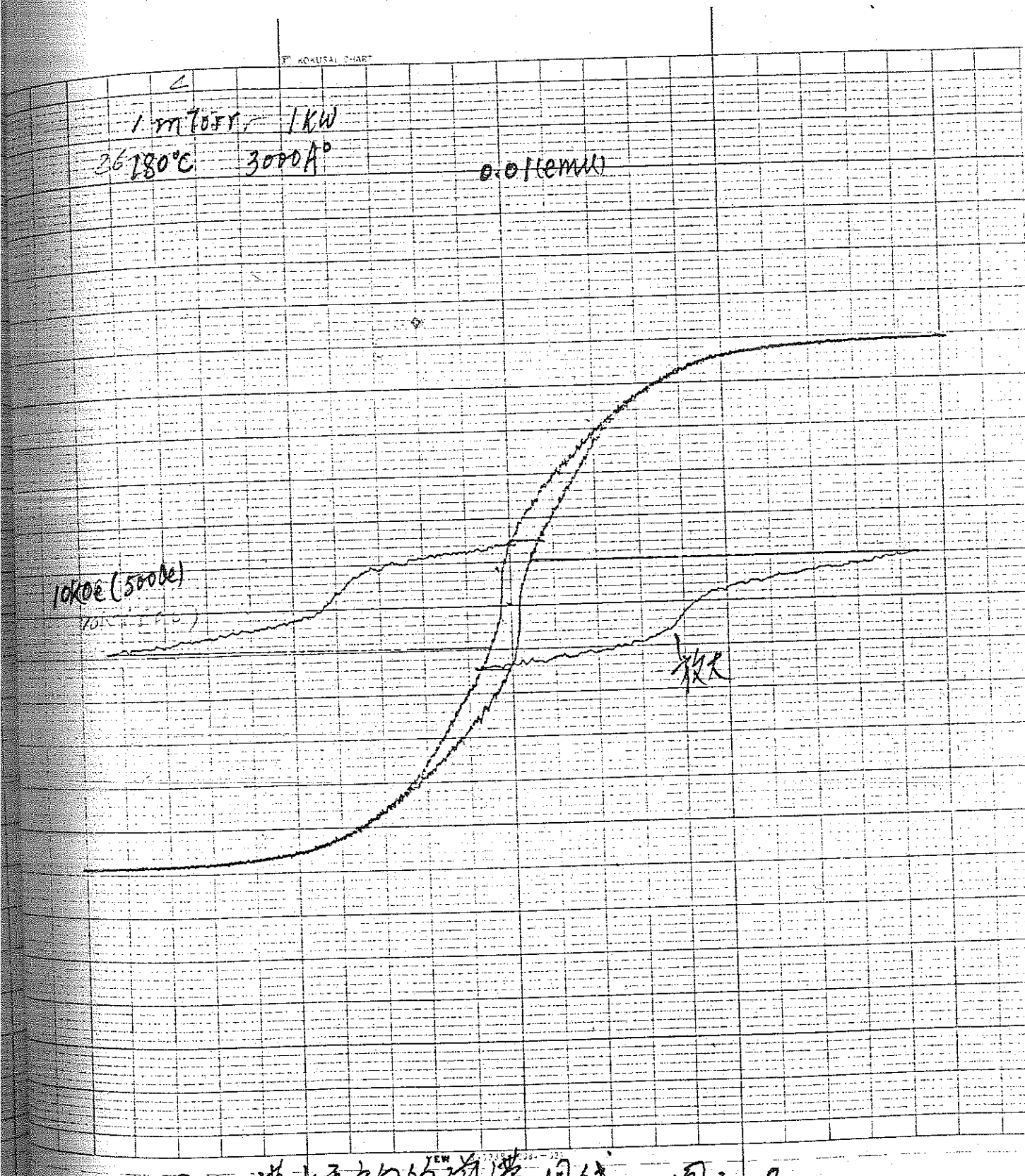
基板温度T_b时垂直于膜面方向的矫顽力H_{C[⊥]}影响最为明显。如图3-9所示。基板温度的升高有助于大晶粒的生长，减少了超顺磁性，但基板温度不能太高，否则因粒状粒子太大而出现多畴，将导致H_{C[⊥]}的下降。从图中可知，在某



基板温度T_b与矫顽力H_{C[⊥]}的关系

图3-9



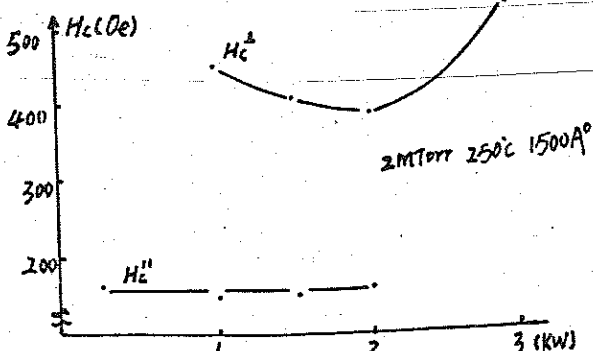


CoCr 膜水平方向的磁滞迴路 圖 3-8

板温度为 200°C 左右时， H_c 呈很快增大值，由此我们可通过改变其板温度下来获得不同的 H_c ，以适应不同的需要。其板温度对平行于膜面方向的矫顽力 H_c 是明显的影响。

图3-10是其板温度对饱和磁化强度 M_s 、垂直方向剩磁 M_r^{\perp} 及水平方向剩磁 M_r^{\parallel} 的影响。可见其板温度对 M_s 、 M_r^{\perp} 及 M_r^{\parallel} 均有明显的影响。图中 M_r^{\perp} 远大于 M_r^{\parallel} 的原因是由于垂直于膜面方向退磁场的影响，在消除退磁场的影响后，在垂直方向可得到近乎于矩形的磁滞回线。

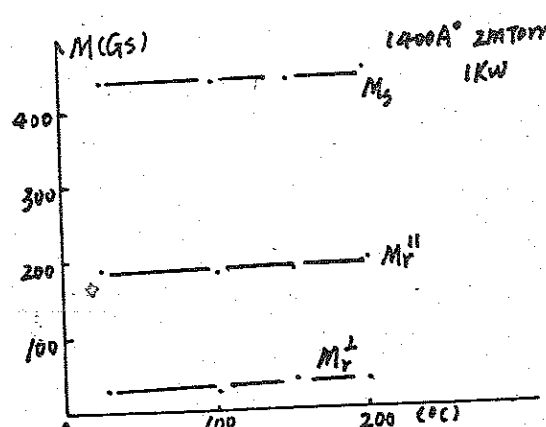
2. 跟射功率率的影响



跟射功率率 P_W 对矫顽力 H_c 的关系

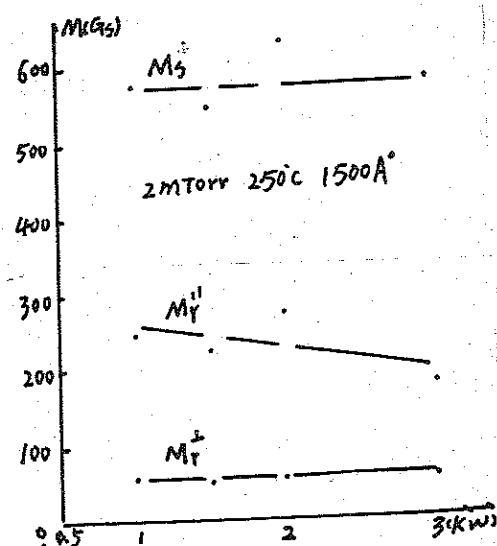
图3-11

在增大跟射功率率 P_W 时，会增大颗粒直径，但对 H_c 、 M_s 、 M_r^{\perp} 大明显的影响。如图3-11、3-12所示。随跟射功率率增大， M_r^{\parallel} 将有下降，说明薄膜的取向



基板温度与 M_s 、 M_r^{\perp} 、 M_r^{\parallel} 的关系

图3-10

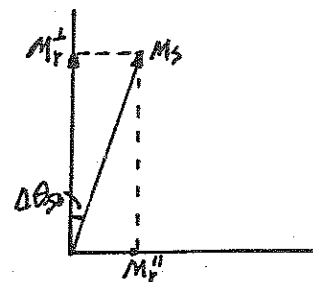


跟射功率率与 M_s 、 M_r^{\perp} 、 M_r^{\parallel} 的关系

图3-12

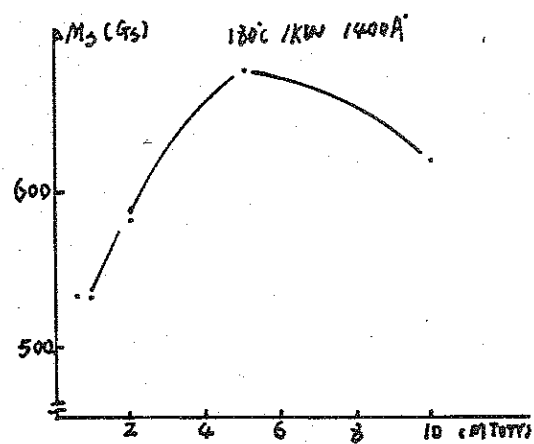
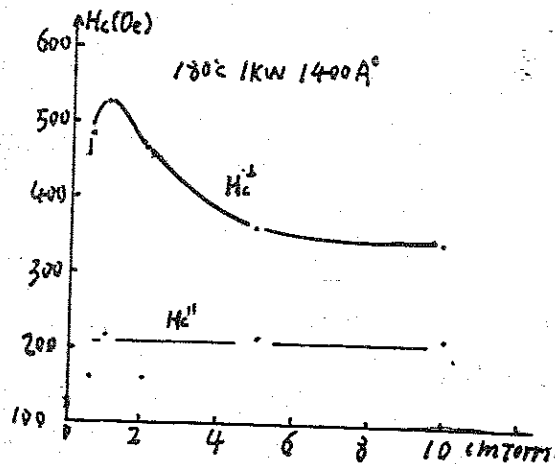
性有所改善，因为 $\frac{M_r''}{M_s} = \sin \alpha_{950} \approx \alpha_{950}$ (图3-13)。

且从 M_r'' 越大，就表明薄膜的取向性越好。另外 P_{Ar} 对垂直方向的矫顽力 H_c^{\perp} 也有一定的影响。



M_r'' 与 α_{950} 的关系 图3-13

3. 氮气分压 P_{Ar} 的影响



氮气分压 $H_c^{\perp}, H_c^{\parallel}$ 的关系

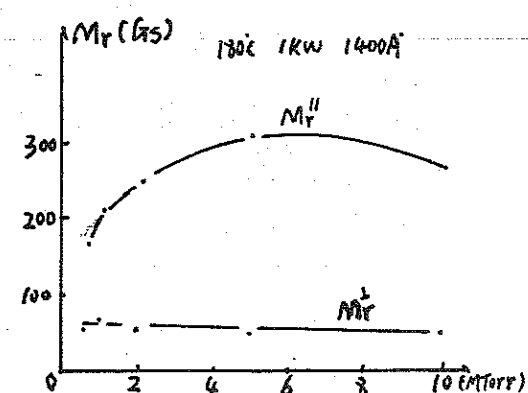
氮气分压 P_{Ar} 和 M_s 的关系 图3-15

图3-14

氮气分压 P_{Ar} 不仅对薄膜的结构和取向性有影响，而且对膜的磁特性也有重要影响。

图3-14, 3-15 是氮气分压 P_{Ar} 对 $H_c^{\perp}, H_c^{\parallel}$ 和 M_s 的影响。随着氮气分压升高，颗粒状粒子的边界面积收缩将加剧，导致 M_s 的改善。从结构和磁特性两个角度来看，

溅射气压在 1-2 Torr 范围内最为合适，在此范围内薄膜的取向性好，矫顽力



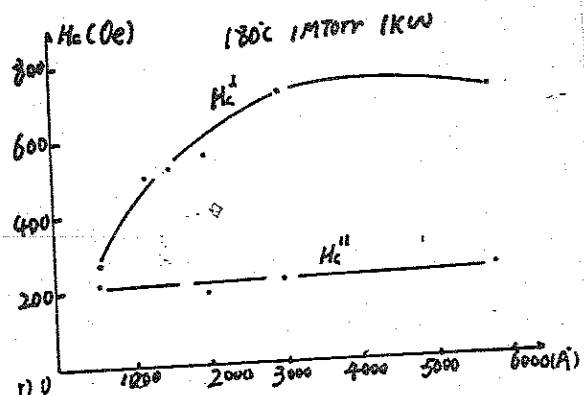
氮气分压 P_{Ar} 和 M_r'', M_r 的关系

图3-16

H_c 高。图 3-16 是 H_c 和 M_r^+ , M_r^{\perp} 的关系。 M_r^{\perp} 随 H_c 在 H_c 的升高呈明显增加趋势，而 M_r^+ 随 H_c 的升高呈上升角，薄膜的取向性将变坏。

4. 膜厚的影响

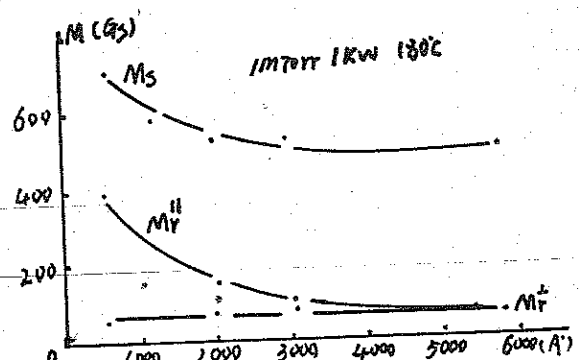
在一定范围内，增加膜的厚度可以提高薄膜的取向性，也就是引起矫顽力 H_c^{\perp} 的提高（如图 3-17 所示），结果表明存在一个最佳薄膜厚度范围，在此厚度以下，薄膜的取向性差，部分地存在着超取向性，故 H_c^{\perp} 低；当膜过厚时，柱状晶粒过多，畴结构，矫顽力 H_c^{\perp} 也依次递下降。这一最佳膜厚范围从图中可知是 3000 Å 到 6000 Å。



膜厚与 H_c^{\perp} , M_r^{\perp} 的关系。

图 3-17

图 3-18 是膜厚与 M_s , $M_r^{\prime\prime}$, M_r^{\perp} 的关系。随着膜厚的增加 M_s 下降，说明薄膜成像的不均匀现象有所改善。 $M_r^{\prime\prime}$ 随膜厚增加而减小，表明薄膜取向性的提高；膜厚对 M_r^{\perp} 没有明显影响。



膜厚与 M_s , $M_r^{\prime\prime}$, M_r^{\perp} 的关系。

图 3-18

8.3-3 结论

软永用磁控溅射法制备了垂直纪录用的介质 CoCr 合金薄膜。系统地

讨论了其结构和磁特性。详细地研究了阴极射线条件下 μ 射线、 γ 射线、 α 射线等
靶-基板间距、基板材料、基板温度等诸因素对薄膜结构和磁性能的影响。
通过大量实验研究和结果分析，可得到如下结论：

1. CoCr 合金薄膜具有一定的垂直各向异性，垂直于膜面的矫滞强度随矩形通
过的 M_s 、 H_c 是目前最佳的薄膜垂直化实用方法。
2. 对薄膜的结构和取向性无为明显的是氮气和薄膜的厚度。氮气在进形
响 H_c 的机械特性，它的氮气将引起薄膜微弱的穿孔现象加剧导致矫力
 H_c^+ 的下降。从结构和磁特性方面考虑，当膜厚大于 3000 \AA ，氮气在 $1-2\text{ mtorr}$
范围内时可获得最佳结构和磁特性。
3. 阴极射线对结构和磁性没有明显影响。
4. 阴极射线对饱和磁化强度 M_s 无明显影响，表明 M_s 主要取决于靶的成份。
5. 薄膜的矫领力 H_c^+ 可通过改变基板温度来加以控制，在基板温度为 200°C
附近时， H_c^+ 在一个最大值。随膜厚的增加 H_c^+ 在一个最大值。薄膜的厚度
在 $3000-6000\text{ \AA}$ 时，可获得较高的矫领力 H_c^+ 。
6. 在薄膜生长的初期阶段存在一个非晶态的过渡层，此时薄膜的取向性差，成
份偏析严重矫领力 H_c^+ 低。
7. 靶-基板间距为 6 mm 时，可获得厚度比较均的薄膜。

致谢

本文是在杨卫先生、郑伟付研究员和闻明鹤博士的精心指导下完成的。在此表示衷心的感谢。对李长安付教授、刘兴务付教授、刘建中付教授和耿惟利老师给予的帮助以及碳性材料研究所的其他各位老师和工人师傅们给予的协作和支持在此一并致以谢意。衷心感谢各位多年来的关心和爱护。

参考文献

1. 松本光功 《磁记录》 科学出版社 1983年
2. 杨正 《磁记录物理》 兰州大学出版社 1986年
3. S.I.Iwasaki et al. IEEE Trans. Magn. Mag-13 No5 1272(1977)
4. Junji Numazawa et al. IEEE Trans. Magn. Mag-23 No1 218(1984)
5. 《磁记录材料》 1988年 第一期 P49
6. 《垂直磁记录技术》 昭和60年
7. D.E.Speliotis IEEE Trans. Magn. Mag-20 No5 669(1984)
8. Yoshihisa Nakamura et al. IEEE Trans. Magn. Mag-23 No5 2856(1987)
9. 戴礼智 《磁记录基础知识》 科学出版社
10. T.Susuki IEEE Trans. Magn. Mag-20 No5 675(1984)
11. S.I.Iwasaki et al. IEEE Trans. Magn. Mag-11 No6 1173(1975)
12. G.J.Y.Fan. J.Appl. Phys. 31 No5 402(1960)
13. 大内弘 《垂直记录介质的研究》 博士论文 1984年
14. S.I.Iwasaki et al. IEEE Trans. Magn. Mag-16 No5 11kl(1980)
15. J.Wielinga et al. IEEE Trans. Magn. Mag-16 No5 1107(1980)
16. S.I.Iwasaki IEEE Trans. Magn. Mag-15 No6 1456(1979)
17. M.T.H.C.W.Stam et al IEEE TRANS. Magn. Mag-23 No1 126(1987)
18. 《电子材料》 1985年 第一二期
19. 刘文伯 《数字磁记录介质》 科学出版社 1987
20. Nohkoshi Journal of magnetism and magnetic materials 35 266(1984)
21. J.H.C.Bernards IEEE Trans. Magn. Mag-23 No1 125(1987)
22. Masayuki Sagai et al IEEE Trans. Magn. Mag-20 No5 2019(1984)
23. W.Andra et al IEEE Trans. Magn. Mag-23 No1 62(1987)
24. S.I.Iwasaki et al J. Appl. Phys. 57 4013(1984)
25. S.I.Iwasaki et al IEEE Trans. Magn. Mag-14 No5 849(1978)
26. P.T.Grundy et al IEEE Trans.magn. Mag-20 No5 794(1984)

27. H. Hoffmann et al IEEE Trans. Magn. Mag-21 No5 1432(1985)
28. Kazuhiro Ouchi et al IEEE TRANS. Magn. Mag-23 No5 2443(1987)
29. Durga P. Ravipati et al J. Appl. Phys. 61(8) 15 April
3149(1987)
30. Y. Niimara et al IEEE Trans. Magn. Mag-23 No1 68(1987)
31. Y. Niimara et al IEEE Trans. Magn. Mag-21 No5 1446(1985)
32. H. Mayr et al IEEE Trans. Magn. Mag-23 No5 2049(1987)
33. T. Coughlin et al IEEE Trans. Magn. Mag-17 3169(1981)
34. T. Coughlin et al J. Vac. Sci. Technol 20 F71(1983)
35. H. Maeda J. Appl. phys. 54 2429(1983)
36. T. Wielinga et al IEEE Trans. Magn. Mag-17 3176(1981)
37. K. Roll IEEE Trans. Magn. Mag-20 No5 771(1984)
38. J. C. Cadder Thin Solid Films 101 61(1983)
39. J. C. Cadder IEEE Trans. Magn. Mag-20 57(1984)
40. J. K. Howard et al J. Vac. Sci. Technol 4 No1 1(1986)
41. A. H. Eltoukhy J. Vac. Sci. Technol 4 No3 539(1986)
42. K. Roll et al IEEE Trans. Magn. Mag-20 No5 771(1984)
43. John L. Vossen: Thin film processes (1978)
44. 麻前立男 《薄膜技术基础》 电子工业出版社 1988年
45. L. 塞克托瓦 《薄膜物理学》 科学出版社 1986年
46. 《薄膜学》 科学出版社
47. 金原 繁 《薄膜的技术基础》
48. Y. Niimura et al J. Appl. Phys. 61(8) 3152(1987)
49. J.-W. Lee et al IEEE Trans. Magn. Mag-23 No5 2455(1987)
50. J.-W. Lee et al J. Appl. Phys. 63(8) 2905(1988)
51. C. Byun et al J. Appl. Phys. 57(1) 3997(1985)